



高性能 PFC/PWM 混在コントローラ トレーリング・エッジ制御

特長

- PFC/PWMのコントロールをワンチップに内蔵
- トレーリング・エッジPFC及びトレーリング・エッジPWM変調
- PFC/PWM ターンオンのシーケンス制御機能内蔵
- 高出力能力2A ソース/3Aシンク・ゲート駆動
- 高速動作16nsの立ち上がり時間/7nsの立ち下がり時間 (1nF負荷)

PFCの特長

- 低ノイズ構成に最適な連続導通の平均電流モード制御
- 広いマルチプライヤ入力特性によりほぼ1の力率を実現可能
- 入力電圧フィードフォワード
- すぐれた過渡応答制御回路内蔵
- 正確なパワー制限
- ゼロパワー検出回路内蔵

PWMの特長

- Peak-Current-Modeには1:1のPFC:PWM周波数オプションがあります。
- 最大デューティ・サイクル制限を最大90%まで設定可能
- 設定可能なソフトスタート機能

アプリケーション

- 高効率サーバー、デスクトップ電源
- 高効率テレコムAC/DCコンバータ

概要

UCC28521及びUCC28528のPFC/PWM混在コントローラはIEC61000-3-2高調波電流抑制規格に準拠するオフライン電源システムの構築に必要な全ての機能を備えています。PFC段とPWM段のコントロールおよび駆動信号を1つのデバイスに組み込むことで特性やコストの面で大きな利益がもたらされています。

UCC28511に基づいて、この新型デバイスは平均電流モード・コントロールの制御方式を使用しています。UCC28521/28の主な相違点はPFC/PWM段のトレーリング・エッジ/トレーリング・エッジ (TEM/TEM) 変調体系にあります。UCC28528はPWM段が立下りの電圧ではターンオフしないという点でUCC28521と異なります。UCC28528のPWMはローパワーの補助電源等向けに設計されています。

このデバイスは前世代の混在型のコントローラに対し特性面での利点があります。主なPWMの特長としては最大デューティ・サイクルが設定可能であることです。PFC段については、このデバイスではマルチプライヤの特性が改善されており、また、過渡応答特性の改善のためトランスコンダクタンス型のアンプを使用していることが特長です。

PFC部はライン電流用に基準信号を生成する3入力のマルチプライヤにあります。UCC28521/28は入力電圧および負荷条件の全ての範囲で入力電流に低歪みの基準電圧を生成することが可能な高く広い直線性の範囲を持つマルチプライヤ回路をもっています。低オフセット、高帯域な電流誤差増幅器により、実際のインダクタ電流は確実にマルチプライヤの出力制御信号に追従します。出力電圧の制御はトランスコンダクタンス・アンプを経て処理されます。

利用可能なアプリケーション・オプション

PART NUMBER	PWM STAGE	APPLICATION
UCC28521	PWM shuts off at 71% of the nominal bulk voltage	ac dc and main dc dc converter
UCC28528	PWM does not turn off with falling bulk voltage	ac dc and standby converter

bqTINYは、テキサス・インスツルメンツの登録商標です。

この資料は、Texas Instruments Incorporated (TI) が英文で記述した資料を、皆様のご理解の一助として頂くために日本テキサス・インスツルメンツ (日本TI) が英文から和文へ翻訳して作成したものです。資料によっては正規英語版資料の更新に対応していないものがあります。日本TIによる和文資料は、あくまでもTI正規英語版をご理解頂くための補助的参考資料としてご使用下さい。製品のご検討およびご採用にあたりましては必ず正規英語版の最新資料をご確認下さい。TIおよび日本TIは、正規英語版にて更新の情報を提供しているにもかかわらず、更新以前の情報に基づいて発生した問題や障害等につきましては何なる責任も負いません。

回路の過渡応答は、出力電圧が設定された範囲外に低下した場合、トランスコンダクタンス型の電圧アンプの出力容量を高速で充電/放電させることにより改善しています。ヒステリシス電圧が選択可能なUVLO回路、高精度な基準電圧、OVP/イネーブル、ゼロパワー検出、ピーク電流制限、パワー制限、大電流出力のゲート・ドライバ段などの多くの機能がPFC部に内蔵されています。

PWM部の特徴としては、ピーク電流モード制御です、設定可能なソフトスタート、最大デューティ・サイクルの精密クランプ機能、ピーク電流制限、大電流出力のゲート・ドライバ段などが内蔵されています。PWM段は起動時PFC出力がその設定値の90%に達するまで抑制されています。入力ラインの低下及びオフ時、UCC28521ではPFC出力がその出力値の71%に低下するまでPWM段は動作しています。一方、UCC28528ではバイアスがUVLOターンオフ・スレッシュホールドより低くなるとPWM段は動作を停止します。

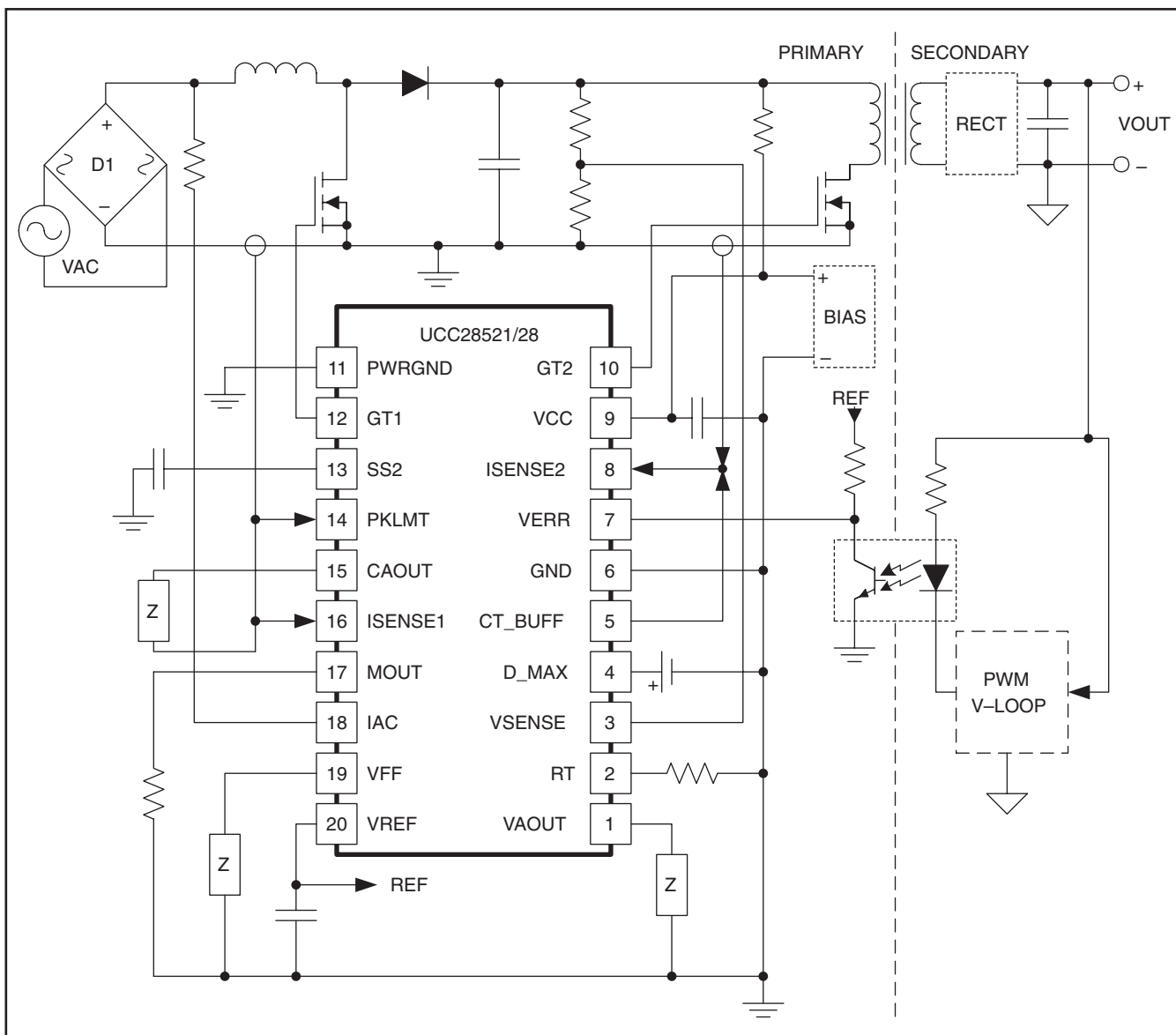
両デバイスとも20ピンのDWパッケージです。



静電気放電対策

静電気放電はわずかな性能の低下から完全なデバイスの故障に至るまで、様々な損傷を与えます。すべての集積回路は、適切なESD保護方法を用いて、取扱いと保存を行うようにして下さい。高精度の集積回路は、損傷に対して敏感であり、極めてわずかなパラメータの変化により、デバイスに規定された仕様に適合しなくなる場合があります。

アプリケーションの概略図



絶対最大定格

自由通気の全動作温度範囲に適用 (特に記述のない限り)[†]

供給電圧 VCC	
アイドル時	20 V
動作時	18 V
ゲート駆動電流 (GT1、GT2)	
連続	0.4 A
パルス	
ソース	-2.5 A
シンク	3.5 A
GT1、GT2 の最大電圧	
	-0.5 V to VCC + 0.3 V
入力電圧	
VSENSE	0 V to 11 V
D_MAX、SS2、CAOUT、ISENSE1、MOUT、VFF	-0.5 V to VREF + 0.3 V
VAOUT、CT_BUFF、ISENSE2、PKLMT	-0.5 V to 6 V
ピンの電流	
RT	-0.5 mA
VFF	-5 mA
CT_BUFF	1 mA
VAOUT、VERR、ISENSE2、SS2、CAOUT、IAC	10 mA
ピンの最大容量	
CT_BUFF	220 pF
ジャンクションの動作温度範囲、T _J	
	-55 °C to 150 °C
保存温度範囲、T _{stg}	
	-65 °C to 150 °C
リード線温度 1.6mm (ケースから 1/16 インチ離れた場所、10 秒間)	
	300 °C

[†] 絶対最大定格以上のストレスは、恒久的・致命的なダメージを製品に与えることがあります。これはストレスの定格のみについて示しており、このデータシートの「推奨動作条件」に示された値を超える状態での本製品の機能動作を意味するものではありません。絶対最大定格の状態に長時間置くことは、本製品の信頼性に影響を与えることがあります。

[‡] 電流の極性で正は指定の端子に流入する方向、負は流出する方向を表しています。全ての電圧は GND を基準としています。

静電気放電 (ESD) 対策

PARAMETER	MAX	UNITS
Human body model	2.5	kV
CDM	0.5	

利用可能なオプション[†]

OPTIONS					PACKAGED DEVICES
PFC:PWM FREQUENCY RATIO	UVLO TURN-ON (V)	UVLO HYSTERESIS (V)	PWM UVLO2 TURN-OFF (V)	PWM UVLO2 HYSTERESIS (V)	SOIC W 20 (DW)
1:1	10.2	0.5	5.30	1.45	UCC28521DW
1:1	10.2	0.5	—	—	UCC28528DW

[†] DW パッケージはテープ/リールで供給されています。型番にRを付けてください (例、UCC28521DWR)。リール当たりの数量は2000個です。

[‡] 全てのデバイスの定格は -40°C ~ +105°C の場合です。

利用可能なオプション[†]

PACKAGE	THERMAL IMPEDANCE JUNCTION TO AMBIENT	THERMAL IMPEDANCE JUNCTION TO CASE	T _A < 25°C POWER RATING	T _A < 25°C DERATING FACTOR	T _A < 105°C POWER RATING
8-pin plastic SOIC (DW)	84.3 °C/W	16.4 °C/W	1.5 W	84.3 mW/°C	0.5 W

[†] Dlow-K PCB_LFM に基づいています。

電気的特性

特に指定がない限り、UCC2851x シリーズでは $T_A = -40^{\circ}\text{C}$ to 105°C , $T_A = T_J$, $V_{CC} = 12\text{ V}$, $R_T = 156\text{ k}\Omega$, $R_{CT_BUFF} = 10\text{ k}\Omega$

供給電流

PARAMETER	TEST CONDITIONS	MIN	TYP	MAX	UNITS
Supply current, off	VCC turn-on threshold 300 mV		100	150	μA
Supply current, on	no load on GT1 or GT2		4	6	mA

低電圧ロックアウト機能 (UVLO)

PARAMETER	TEST CONDITIONS	MIN	TYP	MAX	UNITS
VCC turn-on threshold	UCC28521	9.7	10.2	10.8	V
VCC turn-off threshold	UCC28521	9.1	9.7	10.6	
UVLO hysteresis	UCC28521	0.3	0.5	0.8	

電圧増幅器

PARAMETER	TEST CONDITIONS	MIN	TYP	MAX	UNITS
Input voltage	25°C	7.39	7.50	7.61	V
	Over temperature	7.35	7.50	7.65	
V _{SENSE} bias current	V _{SENSE} = V _{REF}		100	300	nA
Open loop gain	2 V ≤ V _{AOUT} ≤ 4 V	50	60		dB
High-level output voltage	I _{LOAD} = -150 μA	5.3	5.5	5.6	V
Low-level output voltage	I _{LOAD} = 150 μA	0.00	0.05	0.15	
g _M conductance	I _{V_{AOUT}} = -20 μA to 20 μA	70	100	130	μS
Maximum source current		-1	-3.5		mA
Maximum sink current		1	3.5		

PFC段の過電圧保護とイネーブル

PARAMETER	TEST CONDITIONS	MIN	TYP	MAX	UNITS
Overvoltage reference window		VREF + 0.440	VREF + 0.490	VREF + 0.540	V
Hysteresis		300	500	600	mV
Enable threshold		1.7	1.9	2.1	V
Enable hysteresis		0.08	0.2	0.3	

電气的特性

特に指定がない限り、UCC2851x シリーズでは $T_A = -40^{\circ}\text{C}$ to 105°C , $T_A = T_J$, $V_{CC} = 12\text{ V}$, $R_T = 156\text{ k}\Omega$, $R_{CT_BUFF} = 10\text{ k}\Omega$

電流増幅器

PARAMETER	TEST CONDITIONS	MIN	TYP	MAX	UNITS
Input offset voltage	$V_{CM} = 0\text{ V}$, $V_{CAOUT} = 3\text{ V}$	-5	0	5	mV
Input bias current	$V_{CM} = 0\text{ V}$, $V_{CAOUT} = 3\text{ V}$		-50	-100	nA
Input offset current	$V_{CM} = 0\text{ V}$, $V_{CAOUT} = 3\text{ V}$		25	100	
Open loop gain	$V_{CM} = 0\text{ V}$, $2\text{ V} \leq V_{CAOUT} \leq 5\text{ V}$	90			dB
Common mode rejection ratio	$0\text{ V} \leq V_{CM} \leq 1.5\text{ V}$, $V_{CAOUT} = 3\text{ V}$	80			
High-level output voltage	$I_{LOAD} = -500\text{ }\mu\text{A}$	5.6	6.3	7.0	V
Low-level output voltage	$I_{LOAD} = 500\text{ }\mu\text{A}$	0	0.2	0.5	
Gain bandwidth product ⁽¹⁾	See Note 1		2.0		MHz

発振器

PARAMETER	TEST CONDITIONS	MIN	TYP	MAX	UNITS
f _{PWM} , PWM frequency, initial accuracy	$T_A = 25^{\circ}\text{C}$	170	200	230	kHz
Frequency, voltage stability	$10.8\text{ V} \leq V_{CC} \leq 15\text{ V}$	-1%		1%	
Frequency, total variation	Line, Temp	160		240	kHz
dc-to-dc ramp peak voltage		4.5	5.0	5.5	
dc-to-dc ramp amplitude voltage ⁽¹⁾ (peak-to-peak)			4.0		V
PFC ramp peak voltage		4.5	5.0	5.5	
PFC ramp amplitude voltage (peak-to-peak)		3.5	4.0	4.5	

基準電圧

PARAMETER	TEST CONDITIONS	MIN	TYP	MAX	UNITS
Input voltage	25°C	7.39	7.50	7.61	V
	Over temperature	7.35	7.50	7.65	V
Load regulation	$I_{REF} = 1\text{ mA}$ to 6 mA		5	15	mV
Line regulation	$10.8\text{ V} \leq V_{CC} \leq 15\text{ V}$		1	10	
Short circuit current	$V_{REF} = 0\text{ V}$	-20	-25	-50	mA

ピーク電流の制限

PARAMETER	TEST CONDITIONS	MIN	TYP	MAX	UNITS
PKLMT reference voltage		-20	0	20	mV
PKLMT propagation delay	PKLMT to GT1	150	300	500	ns

マルチプライヤ

PARAMETER	TEST CONDITIONS	MIN	TYP	MAX	UNITS
I_{MOUT} , high-line low-power output current	$I_{AC} = 500\text{ }\mu\text{A}$, $V_{FF} = 4.7\text{ V}$, $V_{AOUT} = 1.25\text{ V}$	-3	-6	-9	μA
I_{MOUT} , high-line high-power output current	$I_{AC} = 500\text{ }\mu\text{A}$, $V_{FF} = 4.7\text{ V}$, $V_{AOUT} = 5\text{ V}$	-75	-90	-110	
I_{MOUT} , low-line low-power output current	$I_{AC} = 150\text{ }\mu\text{A}$, $V_{FF} = 1.4\text{ V}$, $V_{AOUT} = 1.25\text{ V}$	-10	-15	-50	
I_{MOUT} , low-line high-power output current	$I_{AC} = 150\text{ }\mu\text{A}$, $V_{FF} = 1.4\text{ V}$, $V_{AOUT} = 5\text{ V}$	-245	-290	-330	
I_{MOUT} , IAC-limited output current	$I_{AC} = 150\text{ }\mu\text{A}$, $V_{FF} = 1.3\text{ V}$, $V_{AOUT} = 5\text{ V}$	-245	-290	-330	
Gain constant (k)	$I_{AC} = 300\text{ }\mu\text{A}$, $V_{FF} = 2.8\text{ V}$, $V_{AOUT} = 2.5\text{ V}$	0.8	1	1.2	1/V
I_{MOUT} , zero current	$I_{AC} = 150\text{ }\mu\text{A}$, $V_{FF} = 1.4\text{ V}$, $V_{AOUT} = 0.25\text{ V}$		0	-0.2	μA
	$I_{AC} = 500\text{ }\mu\text{A}$, $V_{FF} = 4.7\text{ V}$, $V_{AOUT} = 0.25\text{ V}$		0	-0.2	μA
	$I_{AC} = 500\text{ }\mu\text{A}$, $V_{FF} = 4.7\text{ V}$, $V_{AOUT} = 0.5\text{ V}$		0	-0.2	μA
Power limit ($I_{MOUT} \times V_{FF}$)	$I_{AC} = 150\text{ }\mu\text{A}$, $V_{FF} = 1.4\text{ V}$, $V_{AOUT} = 5\text{ V}$	-343	-406	-462	μW

(1) 設計で保証されており、テストは行われていません。

電気的特性

特に指定がない限り、UCC2851x シリーズでは $T_A = -40^{\circ}\text{C}$ to 105°C , $T_A = T_J$, $V_{CC} = 12\text{ V}$, $R_T = 156\text{ k}\Omega$, $R_{CT_BUFF} = 10\text{ k}\Omega$

ゼロパワー

PARAMETER	TEST CONDITIONS	MIN	TYP	MAX	UNITS
Zero power comparator threshold	Measured on VAOUT, falling edge	0.20	0.33	0.50	V
Zero power comparator hysteresis	Measured on VAOUT, rising edge	40	90	140	mV

PFC ゲート・ドライバ

PARAMETER	TEST CONDITIONS	MIN	TYP	MAX	UNITS
GT1 pull-up resistance	$-100\text{ mA} \leq \Delta I_{OUT} \leq -200\text{ mA}$		5	12	Ω
GT1 pull-down resistance	$I_{OUT} = 100\text{ mA}$		2	10	
GT1 output rise time	$C_{LOAD} = 1\text{ nF}$, $R_{LOAD} = 10\ \Omega$		16	25	ns
GT1 output fall time			7	15	
Maximum duty cycle		93%	95%	100%	
Minimum duty cycle (trailing edge)	See Note 1	1%	–	7%	

PWM 段の低電圧ロックアウト (UVLO2)

PARAMETER	TEST CONDITIONS	MIN	TYP	MAX	UNITS
PWM turn-on reference	UCC28521	6.30	6.75	7.30	V
PWM turn-off threshold	UCC28521		5.3		
Hysteresis	UCC28521	1.16	1.45	1.74	

PWM 段のソフトスタート

PARAMETER	TEST CONDITIONS	MIN	TYP	MAX	UNITS
SS2 charge current	$V_{SENSE} = 7.5\text{ V}$, $SS2 = 0\text{ V}$	-7.0	-10.5	-14.0	μA
SS2 discharge current	UCC28521 $V_{SENSE} = 2.5\text{ V}$, $SS2 = 2.5\text{ V}$, (UVLO2 = Low, ENABLE = High)	6	10	14	mA
Input voltage (VERR)	UCC28521 $I_{VERR} = 2\text{ mA}$, UVLO2 = Low			300	mV

PWM 段のデューティ・サイクル・クランプ

PARAMETER	TEST CONDITIONS	MIN	TYP	MAX	UNITS
Maximum duty cycle	$D_{MAX} = 4.15\text{ V}$	70%	75%	80%	

PWM 段のパルスバイパルス電流センス

PARAMETER	TEST CONDITIONS	MIN	TYP	MAX	UNITS
Current sense comparator offset voltage	$I_{SENSE2} = 0\text{ V}$, measured on VERR	1.35	1.50	1.65	V

(1) 設計で保証されており、テストは行われていません。

電气的特性

特に指定がない限り、UCC2851x シリーズでは $T_A = -40^{\circ}\text{C}$ to 105°C , $T_A = T_J$, $V_{CC} = 12\text{ V}$, $R_T = 156\text{ k}\Omega$, $R_{CT_BUFF} = 10\text{ k}\Omega$

PWM 段の過電流制限

PARAMETER	TEST CONDITIONS	MIN	TYP	MAX	UNITS
Peak current comparator threshold voltage		1.15	1.30	1.45	V
Input bias current ⁽¹⁾			50		nA

PWM 段のゲート・ドライバ

PARAMETER	TEST CONDITIONS	MIN	TYP	MAX	UNITS
GT2 pull-up resistance	$-100\text{ mA} \leq \Delta I_{OUT} \leq 200\text{ mA}$		5	12	Ω
GT2 pull-down resistance	$I_{OUT} = 100\text{ mA}$		2	10	Ω
GT2 output rise time	$C_{LOAD} = 1\text{ nF}$, $R_{LOAD} = 10\ \Omega$		16	25	ns
GT2 output fall time			7	15	ns

(1) 設計で保証されており、テストは行われていません。

端子機能

TERMINAL			I/O	DESCRIPTION
NAME	NO.	Stage		
CAOUT	15	PFC	O	Output of the current control amplifier of the PFC stage. CAOUT is internally connected to the PWM comparator input in the PFC stage
CT_BUFF	5	PWM	O	Internally buffered PWM stage oscillator ramp output, typically used to program slope compensation with a single resistor
D_MAX	4	PWM	I	Positive input to set the maximum duty cycle clamp level of the PWM stage duty ratio can be between 0.09 and 0.90.
GND	6	–	–	Analog ground
GT1	12	PFC	O	PFC stage gate drive output
GT2	10	PWM	O	PWM stage gate drive output
IAC	18	PFC	I	Multiplier current input that is proportional to the instantaneous rectified line voltage
ISENSE1	16	PFC	I	Non-inverting input to the PFC stage current amplifier
ISENSE2	8	PWM	I	Input for PWM stage current sense and peak current limit
MOUT	17	PFC	I/O	PFC multiplier high impedance current output, internally connected to the current amplifier inverting input
PKLMT	14	PFC	I	Voltage input to the PFC peak current limit comparator
PWRGND	11	–	–	Power ground for GT1, GT2 and high current return paths
RT	2	–	I	Oscillator programming pin that is set with a single resistor to GND
SS2	13	PWM	I	Soft start for the PWM stage
VAOUT	1	PFC	I/O	Output of the PFC transconductance voltage amplifier and it is internally connected to the Zero Power Detect comparator input and the multiplier input
VCC	9	–	I	Positive supply voltage pin
VERR	7	PWM	I	Feedback error voltage input for the PWM stage, typically connected to an optocoupler output
VFF	19	PFC	I	Voltage feedforward pin for the PFC stage, sources an $I_{AC}/2$ current that should be externally filtered
VREF	20	–	O	Precision 7.5-V reference output
VSENSE	3	PFC	I	Inverting input to the PFC transconductance voltage amplifier, and input to the OVP, ENABLE and UVLO2 comparators

GND (6ピン): ICの制御系グラウンドです。グラウンド基準で測定される全ての電圧はこのピンを基準としています。VCCとVREF用のバイパス・コンデンサをできるだけ短いリード長でこのピンに接続してください。PWRGNDはこのピンと外部で接続する必要があります。最良の結果を出すためには、GNDのリターン・パスを使用する回路とPWRGNDのリターン・パスを使用する回路の間を電氣的に接続するために1本の最短回路配線を使用してください。

GT1 (12ピン): PFC段用2Aピークのソース及び3Aピークのシンク電流をもつトータムポール型MOSFET ゲート・ドライバです。容量性負荷を駆動する際GT1でのいくつかのオーバーシュートが想定されますが、GT1と外付けMOSFETの間に約2Ωのごく小さなシリーズ抵抗を挿入することでこのオーバーシュートを低減することができます。VCCがUVLOの範囲外でなくVREFがオンでなければGT1はディスエーブルです。

GT2 (10ピン): PWM段用2 Aピークのソース及び3Aピークのシンク電流をもつトータムポール型MOSFETゲート・ドライバで、GT1のドライバと同じです。

IAC (18ピン): このマルチプライヤ入力には整流された入力ライン電圧を検出します。IACと入力ライン電圧間の抵抗によりライン電圧はアナログ・マルチプライヤへの電流入力に変換されます。推奨するIACの最大電流は500μAです。

ISENSE1 (16ピン): このピンは電流アンプの非反転入力端子です。このピンとPFC段電流検出抵抗のグラウンド側の間に抵抗を接続してください。このピンに接続する抵抗はMOUTピンとPFC電流検出抵抗のグラウンドと反対端子側との間に接続される抵抗値と等しい値でなければなりません。

ISENSE2 (8ピン): PWM段の電流検出回路とPWMコンパレータは内部にて接続されています。電流検出回路では、ピーク電流のコントロール用は1.3Vに設定をしたピーク制限スレッショールドを持っています。また、PWMコンパレータでは

ISENSE2とPWMコンパレータ入力の中に内蔵されている1.5Vレベル・シフト回路が耐ノイズ性を高めています。また、スロープ補償用に発振器ランプもこのピンに合算されます。図31に、代表的なISENSEピンの容量とゲート2出力のパルス幅の最小制御可能リミットとの関係を示します。V_{ERR}が最小制御可能デューティ・サイクルに相当する電圧であり、これがその後さらに減少すると、パルス幅はほぼゼロに低下します。

MOUT (17ピン): PFC 段のマルチプライヤ出力と電流アンプ入力はこのピンで内部にて接続されています。PFC段の出力領域をMOUTピンとPFC電流検出抵抗のグラウンドと反対端子側との間に接続する抵抗を用いて設定してください。PFCの電流コントロール・ループを補償するためMOUTピンとCAOUTピンの間に抵抗を接続してください。マルチプライヤの出力は電流で、電流アンプの入力はハイ・インピーダンスです。マルチプライヤの出力電流は以下の式で求められます。

$$I_{MOUT} = \frac{(V_{VAOUT} - 1.0) \times I_{IAC}}{K \times (V_{VFF})^2}$$

但し、Kはマルチプライヤのゲイン定数で単位は1/Vです。I_{MOUT}はパワー制限のためI_{IAC}の2倍に制限されます。

PKLMT (14ピン): このピンを用いて PFC 段のピーク電流制限を設定します。ピーク制限のスレッショールドは0Vです。この信号のレベルを、PFCの電流検出抵抗端で測定される所望の過電流スレッショールド電圧に一致する電圧にシフトするため、VREFとPFCの電流検出抵抗のグラウンドと反対端子側との間に抵抗分割を使用してください。

PWRGND (11ピン): GT1とGT2の出力ドライバ用グラウンドです。このグラウンドは外部でGNDに接続してください。

RT (2ピン): RTとGNDの間の抵抗によりCT_BUFFで測定される発振器周波数が設定されます。どの選択肢であっても、PWM段はCT_BUFFで測定される周波数で動作します。UCC28521では、PFC段はPWM段と同じ周波数で動作します。電圧は直流(標準3V)です。電圧を安定化させようとしてこのピンにコンデンサを接続しないでください。また注意として、発振器を設定する抵抗のGND側をGNDピンに近づけて接続してください。この抵抗の推奨範囲は600kHz ~ 65kHzの周波数範囲でそれぞれ45kΩ~500kΩです。以下の式に従い、抵抗 R_T によりCT_BUFFで測定される発振器周波数 f_s が設定されます。

$$R_T = \frac{1}{31 \times 10^{-12}} \left(\frac{1}{f_s} - 2.0 \times 10^{-7} \right)$$

但し、 R_T の単位はΩ、 f_s の単位はHzです。

SS2 (13ピン): SS2とGNDの間のコンデンサによりPWM段のゲート駆動のソフトスタート時間が設定されます。UVLO2コンパレータがPWM段をイネーブルにした場合、10.5μAの内部電流源がSS2のコンデンサを充電し起動時VERRの電圧を3Vに上昇させます。このことにより、GT2のデューティ・サイクルが0%から、以下の式で与えられるコントロールされる遅延時間 t_{SS} でデューティ・サイクル・コンパレータによりクランプされる最大まで増加します。

$$C_{SS2} = \frac{t_{SS} \times 10.5 \times 10^{-6}}{3}, \quad F(\text{ファラッド})$$

ディスエーブル・コマンドまた UVLO2の低下が発生した場合は、SS2はPWM段のゲート駆動をディスエーブルにするよう急速にグラウンドに放電します。

VAOUT (1ピン): このトランスコンダクタンス型のアンプの出力はPFC段の出力電圧をレギュレーションし、オーバーシュートを防止するため最大5.5Vで動作します。VAOUTとGNDの間に電圧補償部品を接続してください。この出力が1Vより低くなると、マルチプライヤの出力電流はゼロになります。この出力がさらに0.33Vより低下すると、ゼロパワー検出コンパレータにより確実に PFC 段のゲート駆動がオフになります。直線範囲では、このピンは最大 30μAまでの電流をソースまたはシンクします。スルーレートの増大機能により、直線範囲外での動作の場合、VAOUTは最大3.3mAまでの電流をソースまたはシンクすることができます。

VCC (9ピン): デバイスの電源電圧で、正常動作時12Vから17Vです。外付けMOSFETのゲート容量の高速充電により生じる電源電流のスパイクを吸収するため0.1μFまたはそれ以上のセラミック・コンデンサでVCCをGNDに最短に接続してください。

VERR (7ピン): このピンの電圧はGT2のデューティ・サイクルをコントロールし、PWM段の外付けアンプからの帰還誤差信号に接続されます。このピンは最大3Vにクランプされ、GT2に100%のデューティ・サイクルの要求を出すことができません。このピンから流出するブルアップ電流は約10μAです。

VFF (19ピン): このピンからの出力電流はIAC入力電流を2で割った内部カレント・ミラーよりもたらされます。次に、マルチプライヤへの入力電圧帰還信号がVFFとGNDの間に接続される外付けの単極R/Cフィルタ端に生成されます。低入力ラインでは、VFF電圧を1.4Vに設定してください。

VREF (20ピン): このピンは内部回路に電圧を供給する7.5Vの基準電圧の出力で、外部負荷に10mA以上を供給することができます。(最大6mAを確保した時には5mVの負荷レギュレーションをもちます)。内部基準電流は25mAに制限されており、VREFがグラウンドに短絡した場合にICを保護します。VREFは安定化のため0.1μFから10μFのセラミック・コンデンサで直接GNDに接続してください。VCCが9.7VのUVLOスレッショールドより低い時VREFはディスエーブルになり0Vに保たれます。

VSENSE (3ピン): このピンはPFCトランスコンダクタンス型のアンプへの反転入力で、PFCへの帰還信号となります。VSENSEがその定常状態値の±0.35V以内で動作する場合、VAOUTの電流はVREF電圧とVSENSE電圧の間の差に g_m 係数で比例します。この範囲外では、PFC段の電圧コントロールを迅速に回復させるようスルーレートを改善するためVAOUTの電流は大きくなります。電圧コントロールの回復を行うか、そうしないかの決定はVSENSEの約120mVのヒステリシスにより内部で行われます。VSENSEは内部でPFCのOVP、イネーブル、UVLO2コンパレータに接続されています。

アプリケーション情報

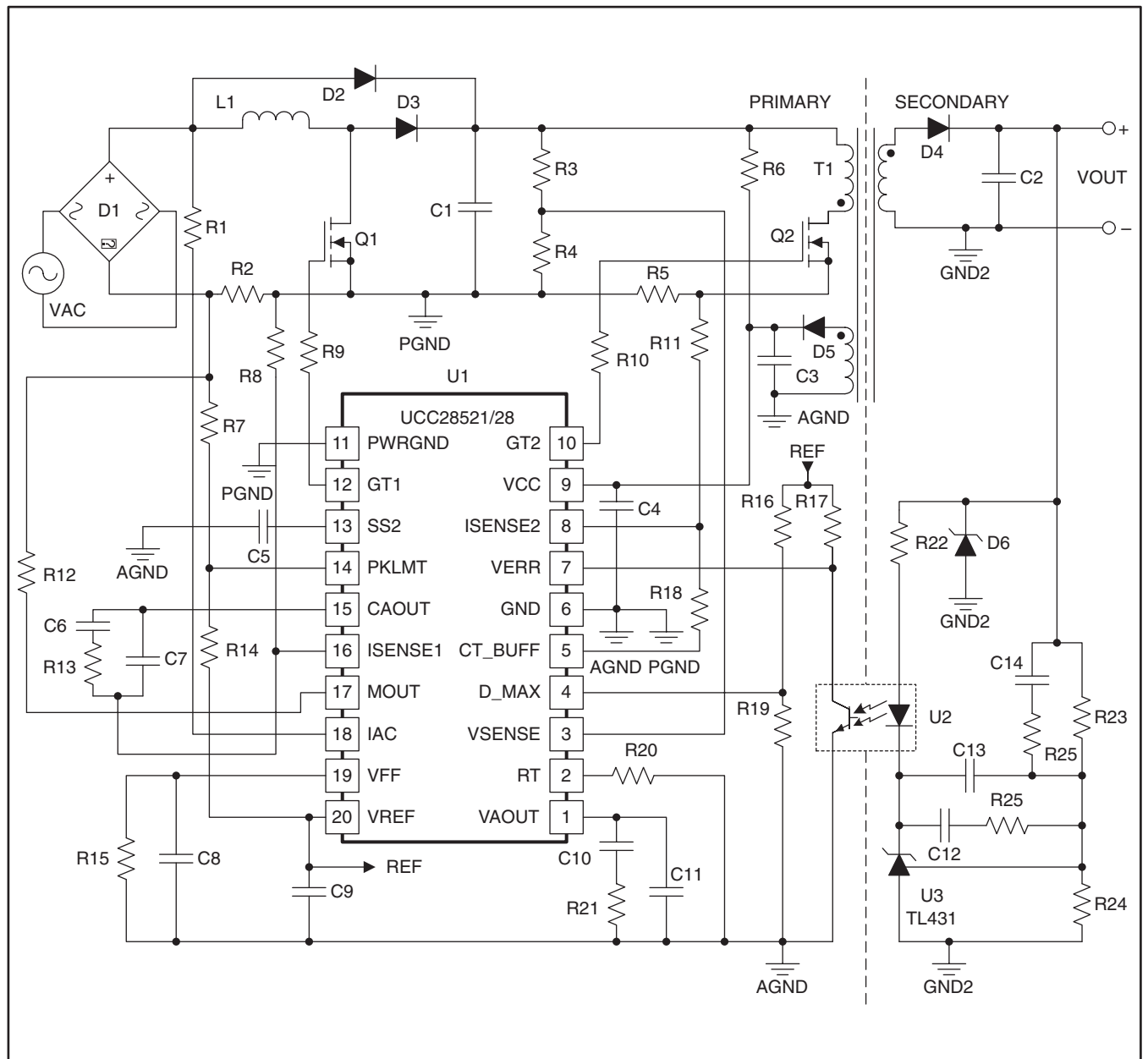


図 1. 代表的なアプリケーション回路：ブーストPFCとフライバックPWMから成る電源システム

UCC28521混合コントローラはパルス幅変調器(PWM)コントローラと同期する力率改善(PFC)コントローラをワンチップに集積しています。PFCコントローラは平均電流モードで制御されるPFCの全機能を備えています。また、PWMコント

ローラはピーク電流モードで制御される絶縁型コンバータの全機能を備えています。この2つのコントローラはPFCコントローラとPWMコントローラともトレーリング・エッジ変調(TEM)された固定周波数で内部同期しています。

設計手順

以下の考察によりPFC/PWM混合のシステムの代表的な設計手順を進めてゆきます。設計手順はパワー段の素子から始め、PFC段のコントロール素子、PWM段のコントロール素子へと進みます。一般的な設計手順はしばしば反復を伴うということに留意しておいてください。この反復作業は通常完成したPFC/PWMシステムをシミュレーションとテストの両方またはいずれか一方を行った後に始まります。この設計手順では図1の代表的アプリケーション回路を参照しています。

設計は出力電圧、出力電力、入力ライン電圧範囲への要求項目から始めます。効率、許容高調波電流などのその他細目は始めに与えられているか、または製品の設計サイクルを通じて明らかになってゆきます。力率改善の必要性は、EN-61000などの公的機関規格より、または利用可能なライン電力が電源システムの出力電力にほぼ等しい場合に生じます。また、保持時間の要件も設計の初期段階で必要となります。一般的に、保持時間 t_{HU} は少なくとも1.5ライン・サイクルの期間とされています。

PFC/PWM段電源システムの一般的な構造は2つのスイッチモード・コンバータが縦列接続されたものです。各段にはそれぞれ付随する効率があり、また、各段は目的とする入力ライン高調波と負荷レギュレーション特性を同時に達成するためにいくつもの設定しなければならない異常制限機能をデバイス自身もっています。PFC段は常時PWM段に十分な電力を供給するよう設計しなければなりません。PFC段のサイクルごとの電流制限はPFCの電流検出を見越しておくため低入力ライン電圧時に電力クランプよりも少し大きな電力レベルで動作するよう設定する必要があります。このことにより、最大定格負荷の全範囲で力率改善が可能になります。瞬時的な負荷が平均負荷にほぼ等しい場合、PWM段のクランプ回路は、PFC段の平均電力クランプより少し低いか、または等しいレベルに電力を制限するよう設定することができます。クランプ動作のマージンは測定公差と効率を考慮に入れておかなければなりません。逆に、瞬時的な負荷が保持時間よりかなり短く大きなピークの場合は、PWM段の電流制限とデューティ比の制限はPFC段の平均電力クランプよりも高いレベルでクランプする必要があります。設計手順を簡略化するため、PWM段の平均及びピーク負荷は等しい例として示します。全ての電流制限とデューティ比の制限はPFC段の平均電力クランプよりも少し低いレベル(10%)で電力をクランプするよう設定します。

内部パラメータの作成

エネルギー蓄電電圧 V_{C1} を選択します。PFC段は昇圧コンバータであるため、C1端の電圧は過渡負荷が発生した場合にも制御ができるよう十分な量の入力ライン電圧より大きくなければなりません。通常、この電圧は $85V_{AC}$ から $265V_{AC}$ の一般的な入力ラインのアプリケーションでは約5%の約400Vです。

エネルギー蓄電電圧 V_{C1} が決まると、PFC段のデューティ比の範囲 D_1 が設定されます。PFC段のCCM動作(連続電流モード動作)では、PFCの最小デューティ比は以下の式で求められます。

$$D_{1(\min)} = 1 - \frac{\sqrt{2} \times V_{AC\text{MIN}}}{V_{C1}} \quad (1)$$

PFC段のおおよそのスイッチング周波数を選択します。MOSFETベースのPFC段の周波数は、最大ライン電圧と最大ライン電流にもよりますが、100kHzから200kHzの範囲が妥当です。周波数を高く設定すればインダクタンスなどの低減には役立ちますがスイッチング損失の増大と負荷変動時に制御限界などを考慮する必要があります。またスイッチング周波数はQ1とD3のスイッチング損失や、またはL1の設計を最適化するために再検討することがあります。

電力要求と V_{C1} の大きさなどを考慮してPWM段の適切な制御方式を選択します。簡単にするため、図1の代表的なアプリケーション回路ではPWM段はフライバック・コンバータ方式です。ほとんどの場合、PWM段の制御方式はトランス絶縁でなければならず、この制御方式で要求するパルス幅変調信号は1つのみです。これらの機能をもつ制御方式には以下のものがあります。

- 一石のフォワード・コンバータ
- 一石のフライバック・コンバータ
- 二石のフォワード・コンバータ
- 二石のフライバック・コンバータ

PWM段の標準/最大デューティ比($D_2(\text{nom})$ 、 $D_2(\text{max})$)とそれに関連したQ2のピーク・ドレイン電流 $i_{Q2(\text{peak})}$ を、制御方式、PWMのヒステリシス、PWM段の出力電圧要求をもとに算出します。また、PWM段がPFC段と同一スイッチング周波数で動作させる事が適切かどうか、または、PWM段はPFC段のスイッチング周波数の2倍で動作させる事ができるかを推定します。最大電圧、パワーMOSFETとパワーダイオードの電流をもとにPWM段のスイッチング周波数を見積もります。PWM段の発振器周波数をR20の値を用いて設定します。

$$R20 = \frac{1}{31 \times 10^{-12}} \left(\frac{1}{f_{S(\text{pwm})}} - 2.0 \times 10^{-7} \right), \Omega \quad (2)$$

ほとんどのアプリケーションではPWM段は最小エネルギー蓄電容量の電圧でレギュレーションすることが求められます。最大デューティ比 $D_2(\text{max})$ と $i_{Q2(\text{peak})}$ は、トランスT1のピーク電流ストレスとPWM段の他の誘導成分を見積もるため最小エネルギー蓄電電圧について計算しなければなりません。

この時点で、UCC28510ファミリーのうちのどれを選択すべきかを予測するのに十分な情報が揃いました。

パワー段の素子

パワー段の素子の関連には、C1-C3、D1-D5、L1、R2、R5、Q1、Q2、T1があります。PWM段の素子 C2、D4、D5、Q2、T1 に関しての詳細は、それらがPWM段の制御方式の選択に依存するためここでは検討しません。PWM段は選択した制御方式に同一のストレス及び損失の構造をもつ絶縁型のDC/DC制御方式です。PWM段の定常状態での平均デューティ比とQ2スイッチ電流の見積もりはPFC段のストレスの見積もりに必要です。また、ソフトスタート・コンデンサC5とバイアス電源コンデンサC3の見積もりにPWM段の固有のステップ応答が必要です。

PFC段の素子C1、C3、D1-D3、Q1の選択手順をここで詳細に検討します。一般に、PFC段の素子の選択手順は、PFC/PWM段の同期に起因するコンデンサC1を除いて、固定スイッチング周波数の標準的なPFC制御の設計の場合と同じです。

ダイオード・ブリッジD1はRMSライン電流とピーク交流ライン電圧に対する耐性をもつよう選択されます。ダイオードD2によりコンデンサC1は初期起動時L1を飽和させることなく充電し、D2はピーク突入電流と最大入力ライン電圧のピークに対する耐性をもつよう選択されます。規格または状況によっては、入力ラインに直列に突入電流制限回路を追加することも必要です。

PFC段のインダクタL1は最小入力ライン電圧で最大電流リップルを供給できるように選択します。一般的に、リップル係数 k_{RF} は約0.2が選ばれます。ライン電流に過度のクロスオーバー歪みがある場合、より大きなリップル係数(0.3程度)にすると歪みは低減しますが、ライン電流にそれ以上のスイッチング時のリップルが生じます。最初は、インダクタンスは入力電力が出力電力に等しいとして見積もることができます。

$$L1 = \frac{V_{AC(min)}^2 \times D_{1(min)} \times T_{S(pfc)}}{k_{RF} \times P_{IN}} \quad (3)$$

$$\text{where, } k_{RF} = \frac{\Delta i_{L1(p-p)}}{i_{L1(max)}}$$

$$\text{and } T_{S(pfc)} \text{ is } \frac{1}{\text{switching frequency of the PFC}}$$

インダクタL1は入力ライン電流時にも飽和しないで最大RMSライン電流に対する耐性をもつよう設計しなければなりません。

パワーMOSFET Q1とダイオードD3を、固定スイッチング周波数のPFC設計に使用されるのと同じ基準で選択します。これらの素子はエネルギー蓄電電圧 V_{C1} に対する耐性をもつよう十分な電圧定格と、十分な電流定格をもっていなければなりません。GT1ピンからのソース/シンク電流を制限するのにゲート駆動抵抗R9が必要です。状況によっては保護機能と特性の改善のためゲート駆動部品を追加することが必要となることがあります[10]。同じ理由でGT2ピンとQ2のゲートの間に同じようなゲート駆動抵抗R10が必要です。

PFC段の電流検出抵抗R2は1Vのダイナミックレンジ($V_{DYNAMIC}$)で動作するよう選択されます。また、この検出抵抗は最大RMSライン電流で安全動作が可能となる十分に大きな電力定格をもっていなければなりません。

$$R2 = \frac{V_{DYNAMIC}}{i_{L1(max)} + 0.5 \times \Delta i_{L1(p-p)}} \quad (4)$$

$$\text{where, } i_{L1(max)} = \frac{\sqrt{2} \times P_{IN}}{V_{AC(min)}}$$

PFC段の I_{LIMIT} コンパレータのスレッシュホールドはコントローラ・デバイスのグラウンドが基準です。従って、PKLMTで測定されるPFC段の電流検出電圧は、PFCの瞬時電流が最大である場合、0.0Vを超えるよう正電圧でバイアスしなければなりません。このバイアス電圧は式(5)で示されているようにR14とR7で設定されます。抵抗R14は任意に約10kΩを選択します。

$$\frac{R7}{R14} = \frac{1}{\frac{V_{REF}}{i_{L1(max)} \times R2} - 1} \quad (5)$$

エネルギー蓄電コンデンサC1の容量値は以下の式により保持時間要件(t_{HU})に適合するよう選択されます。

$$C1 = \frac{2P_{OUT} \times t_{HU}}{V_{C1}^2 - (V_{C1} - 0.7V_{C1})^2} \quad (6)$$

コンデンサC1は選択したエネルギー蓄電電圧の定格でなければならず、また、PFC段とPWM段の結合動作により生じるRMSリップル電流 $I_{C1(rms)}$ に対する耐性がなければなりません。GT2がMOSFET Q2をアクティブにしている間Q2の平均ドレイン電流を使用して $I_{C1(rms)}$ を検出します。当初見積もりとして式(7)を用いて行い、次に図2を参照して精度を上げます。

$$I_{C1(rms)} = P_{OUT} \times \sqrt{\frac{16 \times V_{BOOST}}{3 - \pi \times V_{AC(max)}} - 1} \quad (7)$$

I_{Q2} に対する $I_{C1(rms)}$ の比は、1X:1Xの発振器のオプションは図3、1X:2Xの発振器オプションは図4のそれぞれのグラフを使用して求めることができます。このグラフを使うには、横軸に沿って V_{C1} に対するVACの比を見つけ、次にPWM段のデューティ比の曲線との交差点まで縦線を引きます。縦軸との交差点から横線を引いて、 I_{Q2} に対する $I_{C1(rms)}$ の比を読み取ります。

PWM段の電流検出抵抗R5は、最大電流時その電圧がピーク電流コンパレータのスレッシュホールド電圧(標準 1.3V)となるよう選択されます。

$$R5 = \frac{V_{TH}(PWM\ stage \times I_{LIMIT})}{I_{Q2(peak)}} \quad (8)$$

ほとんどの場合、規格またはアプリケーションの要件に適合するために入力ライン・フィルタが必要とされます。入力ライン・フィルタの設計は膨大な条件や状況に左右されるためここでの手順からは省略します。この詳細については参考資料[11]を参照してください。

PFC 段のコントロール

PFC段は3段階のプロセスで設計されます。まず、マルチプライヤのダイナミック・レンジを設定し、2番目に、平均電流コントロール・ループを安定させ、3番目に、エネルギー蓄電コンデンサの電圧をコントロールする電圧ループを安定させます。可能な限り広いマルチプライヤのダイナミック・レンジを使用することが望ましく特性に大きく影響します。電流コントロール・ループは瞬時入力ライン電圧に追従するため広い帯域幅をもたなければなりません。電圧ループは力率を落とすことがないよう交流ライン周波数の2倍以上遅く設定する必要があります。

マルチプライヤ

マルチプライヤ(掛け算器)のダイナミック・レンジは、IACピン、VAOUTピン、VFFピンの電流及び/または電圧の関数です。マルチプライヤの全範囲を使用して選択の調整を行い、目的とするパワー制限特性を得ます。式(9)に記載されているように、 V_{VAOUT} 範囲の最大条件下で $i_{IAC}(t)$ 範囲と V_{VFF} 範囲を使って部品R1とR15を選択します。この選択手順は VFF 電圧とMOUT電流の制限を除いてUC3854の選択プロセスと同様です[12]。この製品シリーズでは、1.4Vまたは V_{VFF} のうちの大きい方で除算できるよう“二乗による除算”機能が内部で実行されます。分圧比が1.4V レベルで制御される場合、VAOUTレベルがマルチプライヤが機能する範囲内にあれば力率改善が図られます。マルチプライヤ部が3入力マルチプライヤでの働きよりはむしろ2入力マルチプライヤとして機能するため力率改善はその条件の時に行われます。VFF ピンの電圧はIAC電流の平均に比例することに注意してください。一般的に、設計境界として低入力ライン電圧では $V_{VFF}=1.4V$ に設定され、有効入力ライン電圧範囲が4.3:1より低い比で変わっても V_{VFF} の上限は範囲内にとどまります。

$$\begin{aligned} 0 &\leq i_{IAC}(t) \leq 500 \mu A, \\ 0 &\leq V_{VAOUT}(t) \leq 5 V, \\ 1.4 V &\leq V_{VFF} \leq V_{VREF} - 1.4 V \end{aligned} \quad (9)$$

選択手順は高入力ラインでの I_{AC} のピーク電流が約 $500 \mu A$ となるようR1を選択することから始めます。表1を参照してください。2番目に、表1に示されているようにVFF電圧が最小の場合のR15を選択します。3番目に、表1のように、第三次高調波量に適合するよう十分に小さなリップルでVFF電圧を平均化してC8を選択します。THDが3%を目標とするシステムでは、標準的にはフィードフォワード回路が入力波形に対し1.5%分の第三次高調波歪を寄与します[4]。減衰係数0.022が、この規準に適合します。最後に、最大電力、最小入力ライン電圧 ($V_{FF, MIN}$)、VAOUTがその最大レベルの5Vという条件下で、R12端の電圧が検出抵抗R2端の電圧に等しくなるよう表2のようにMOUT抵抗R12を選択します。経験的に、マルチプライヤの出力抵抗R12は、エネルギー蓄電コンデンサの電圧が最大負荷時に低下するとして少し増やしておくことが必要なことがあります。このことは部品とマルチプライヤの公差に起因しています。電流アンプのオフセットを最小限にするためには、表1に示されているように、ISENSE1ピンの抵抗R8をR12の値と同じ値に設定します。

PFC段のコントロール

このコントローラはPFC段には平均電流ループの制御を用いています。電流制御ループは、通常は整流された正弦波の交流ライン電圧をトラッキングするのに十分速くなければなりません。PFCの電流ループを安定化させるコントローラを設計するには多くの方法があります。ここで説明されている方法はほとんどのアプリケーションで良好な結果をもたらします[5]。この方法では、式10で表されているように、システムの固有周波数と線形化された昇圧PFCのゼロの両方とも、スイッチング周波数と目的とするクロスオーバー周波数 $f_{CO(pfc)}$ の両方よりもかなり低いと仮定しています。式10の不等式の左側はC1の容量が非常に大きいため通常は真となります。

$$\frac{1 - D_{PFC(min)}}{\sqrt{L1 \times C1}} \text{ and } \frac{2P_{IN}}{C1 \times V_{C1}^2} \ll 2 \times \pi \times f_{CO(pfc)} \ll 2 \times \pi \times f_{S(pfc)} \quad (10)$$

REFERENCE DESIGNATOR	EQUATION	NOTES
R1	$\frac{\sqrt{2} V_{AC(max)}}{I_{IAC(peak)}}$	set $I_{IAC(peak)} = 500 \mu A$
R15	$2 \times R1 \times \frac{V_{VFF(avgmin)}}{V_{AC(min)} \times 0.9}$	set $V_{VFF(avgmin)} = 1.4 V$
C8	$\frac{1}{2 \times \pi \times f_{AC} \times A_{FF(2)} \times R15}$	$A_{FF(2)} = 0.022$ for 3% THD
R12	$\frac{P_{IN(R1)(R2)k}}{V_{VAOUT(max)} - 1} \left(\frac{V_{VFF(min)}}{V_{AC(min)}} \right)^2$	$k = 1$ $V_{VFF(min)} = 1.4V$ $V_{VAOUT(max)} = 5.0V$
R8	R12	Always change R8 if R12 is changed

表 1.

REFERENCE DESIGNATOR	EQUATION	NOTES
R13	$R13 \times \frac{2 \times \pi \times f_{CO(pfc)} \times L1 \times V_{CT_BUFF(p-p)}}{V_{C1}}$	$V_{CT_BUFF(p-p)} = 4 V$
C6	$\frac{1}{R13 \times 2 \times \pi \times f_{CO(pfc)}}$	
C7	$\frac{1}{\pi \times f_{S(pfc)}}$	

表 2.

不等式の左側は中項よりも少なくとも10倍小さく、また、不等式の右側は中項よりも少なくとも5倍程度大きくしてください。50Hzから60Hzでの力率改善のためには、クロスオーバー周波数を約10kHz程度に設定することで良好な結果が得られます。PWM段のスイッチング周波数が100kHzより低いか、またはクロスオーバー周波数での補償ゲインが大きい場合は(およそ40dB以上)、これより低いクロスオーバー周波数が必要となるかもしれません。

クロスオーバー周波数を選択する際には、ゲインをクロスオーバー周波数で設定するようR13を選択し、次に、ゼロをクロスオーバー周波数に置くようC6を選択し、ポールをスイッチング周波数の半分の周波数で供給するようC7を選択します。これらの式を表2に示します。

PFC電圧ループ

電圧ループは、電圧の補正が力率改善を妨げないよう入力ライン周波数の2倍以上の低い周波数でクロスオーバーしなければなりません。 V_{C1} 検出電圧からの第二次高調波リップルは、VFF電圧のリップルと同様に、直接的に入力ライン上での第三次高調波をもたらします。

PWM 段のコントロール

PWM 段のコントロール素子は標準的な電流モードの絶縁型コンバータと同じです。二次的な素子としてC12-C14、D6、R22-R25、U2、U3 があり、これらは誤差増幅器、補償及び絶縁機能を行います。一次側では、VERRがホトカプラ出力U2と

プルアップ抵抗R17の間のノードに接続されます。抵抗R17はホトカプラU2の出力電流及びVERR入力からの変換ゲインを表します。

ロープ補償はISENSE2で全体の傾きを形成する抵抗R18とR11を使用して設定されます。CT_BUFFの電圧は振幅が1Vから5Vの鋸波です。

多くのアプリケーションではトランスの飽和を防ぐためにPWM段のデューティ比制限が必要とされます。以下の抵抗R16とR19の比率を使用して最大デューティ比を設定します。

$$\frac{R16}{R19} = \frac{V_{VREF}}{1 + 4 \times D_{PWM(max)}} - 1 \quad (11)$$

ソフトスタート

ソフトスタート・コンデンサC5は、SS2に接続され、PWM段のソフトスタート・ランプをコントロールします。ソフトスタート・ランプはVSENSE電圧が6.75Vを超えた時開始します。ループの飽和を回避するため、ソフトスタート・ランプの速度はPWM段コンバータの開ループ応答より小さいか、または等しく設定してください。

リファレンス・デザイン

12V/8Wの出力をもつ一般的なライン入力/100W PFC出力の設計についてはUCC28517EVM (TI文献番号SLUU117)に記載されています。UCC28517はUCC28521と密接な関係のある混合デ

バイスです。UCC28517は1:2のPFC:PWM周波数オプションをもっています。回路図を図2、図3、図4に示します。詳細についてはSLUU117を参照してください (<http://www.ti.com>)。

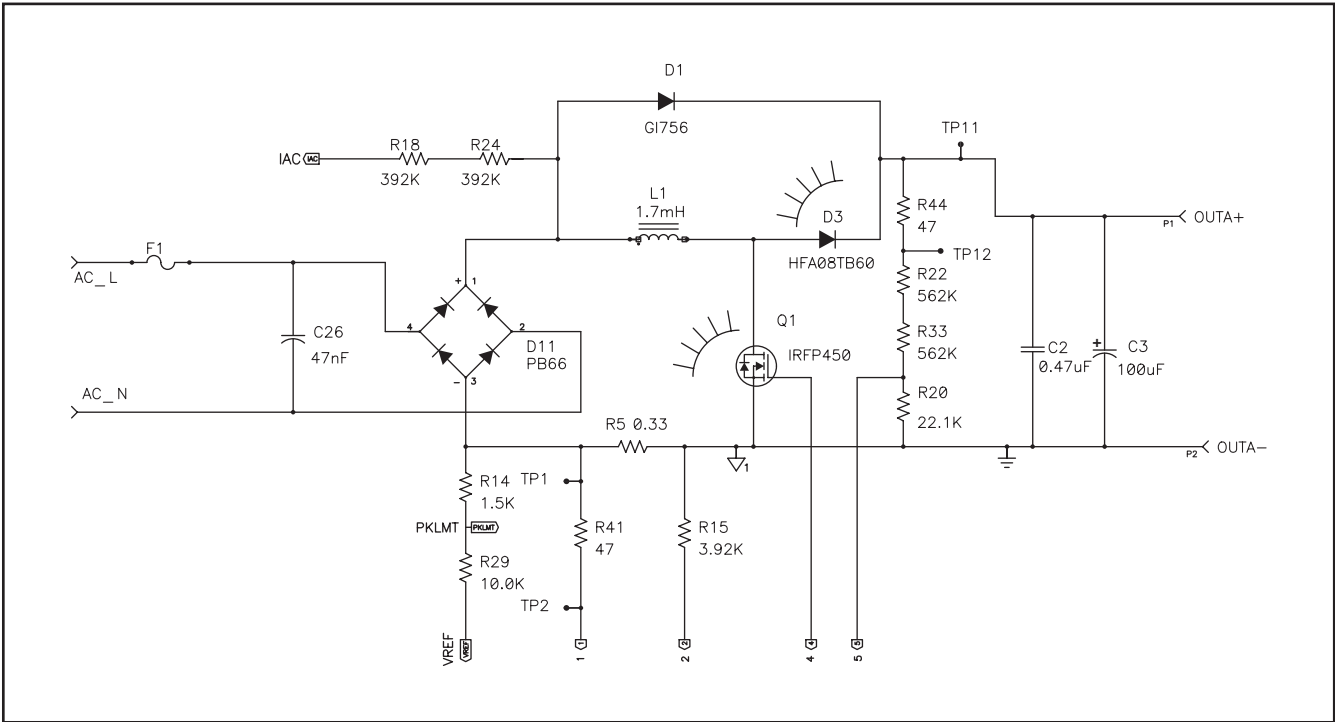


図 2. セクションA

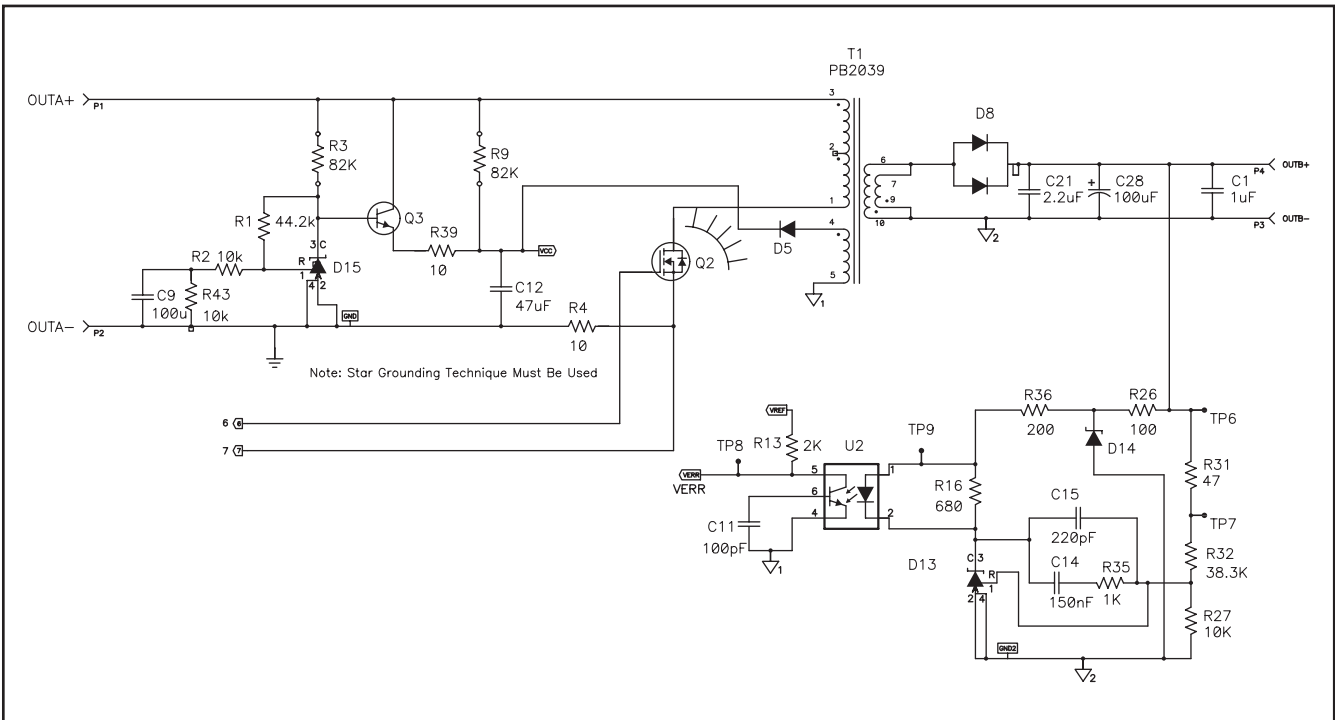


図 3. セクションB

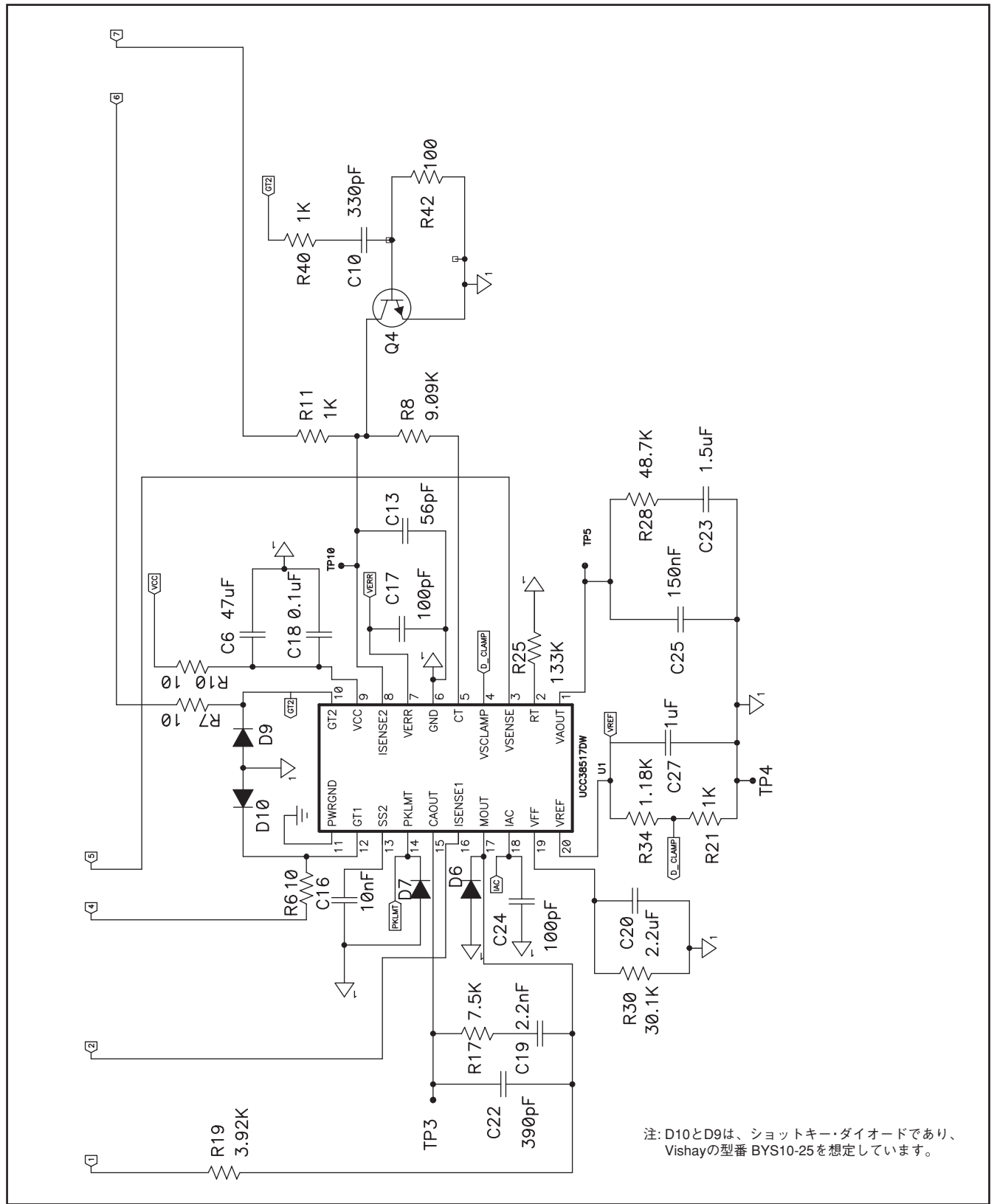


図 4. セクションC

注: D10とD9は、ショットキー・ダイオードであり、Vishayの型番 BYS10-25を想定しています。

代表的特性

スタートアップ電流 — 温度

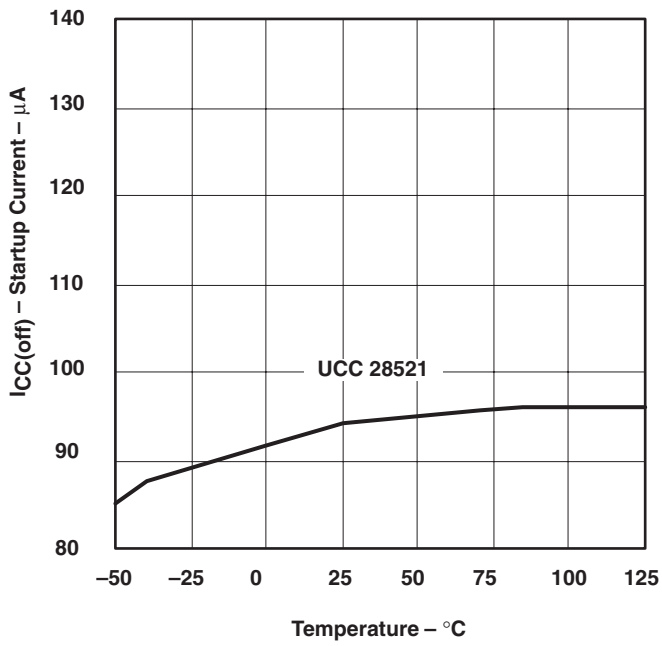


図 5

供給電流 — 温度

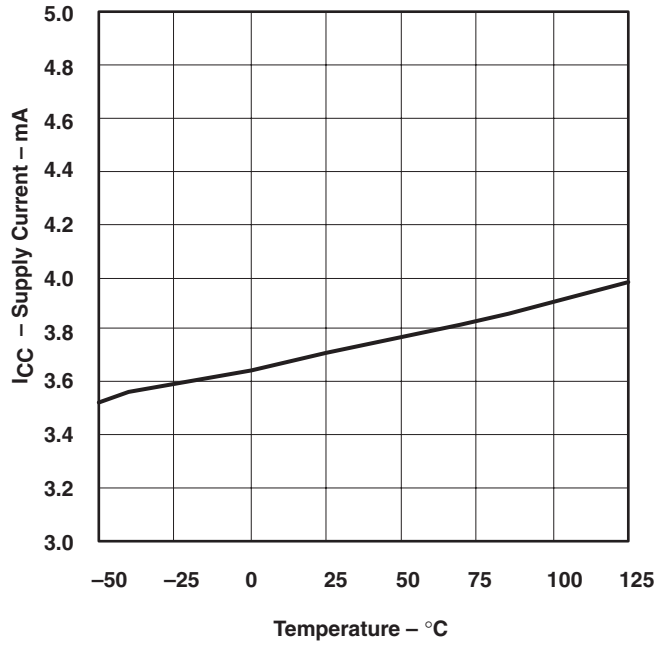


図 6

供給電流 — 供給電圧

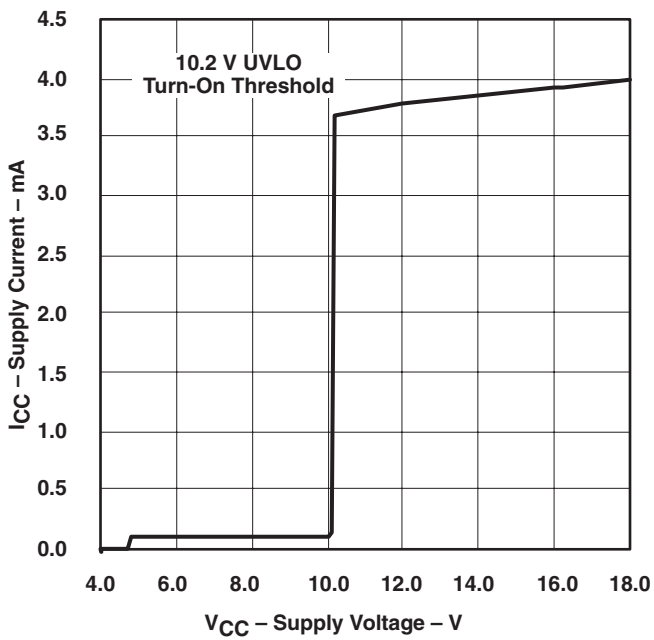


図 7

基準電圧 — 温度

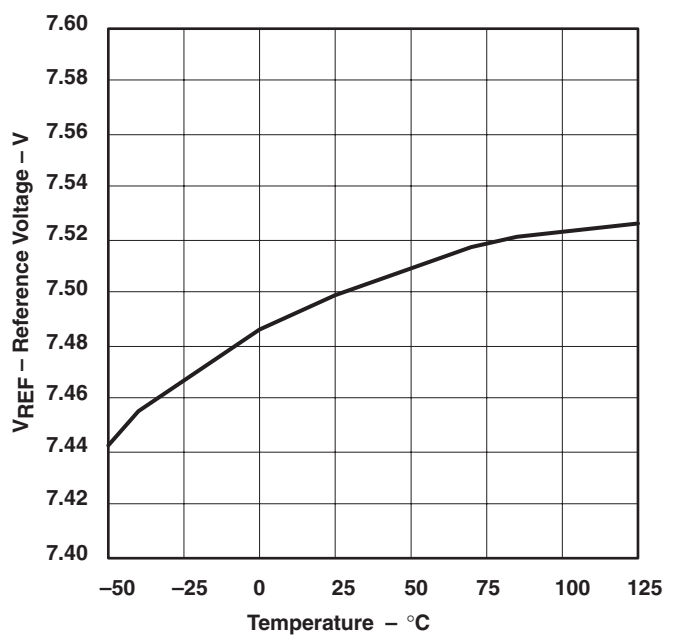


図 8

代表的特性

VREF の電流制限

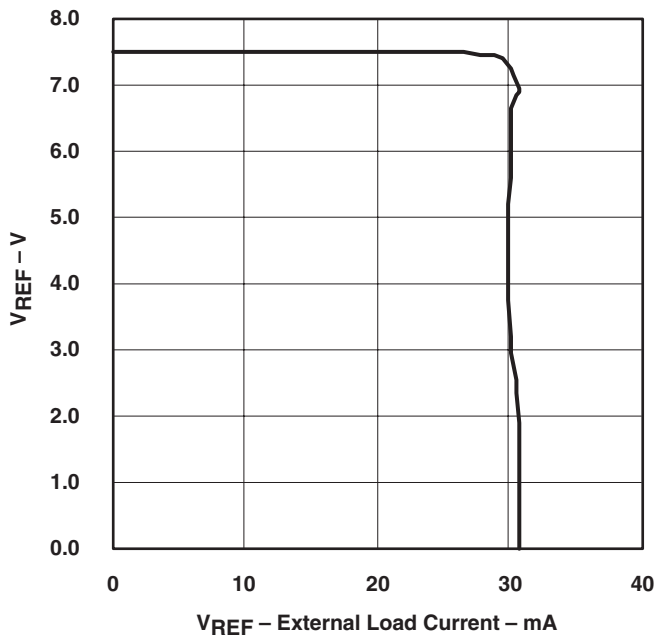


図 9

VREF - 負荷電流

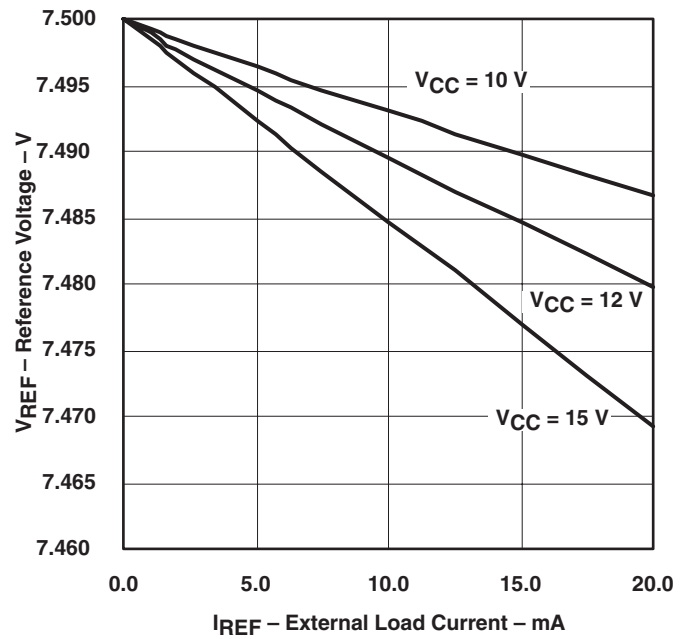


図 10

PFC UVLOのスレッシュホールド
—
温度 (UCC28521)

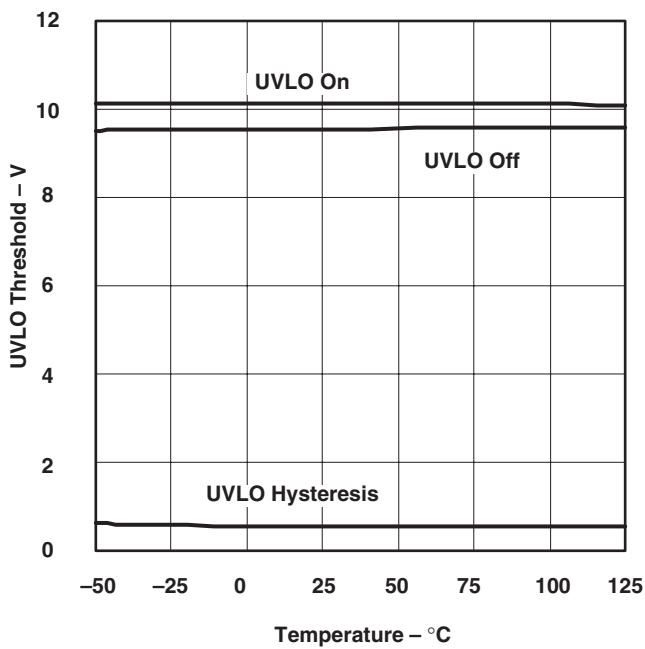


図 11

PWM UVLO2のスレッシュホールド
—
温度 (UCC28521)

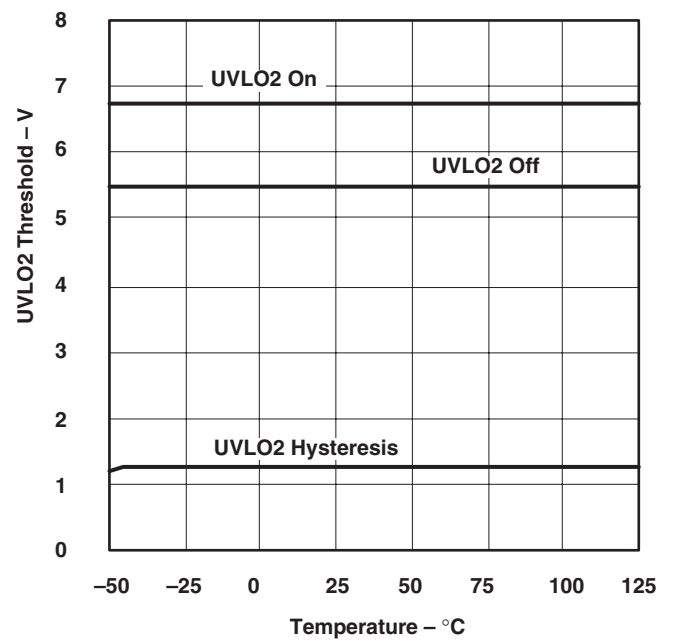


図 12

代表的特性

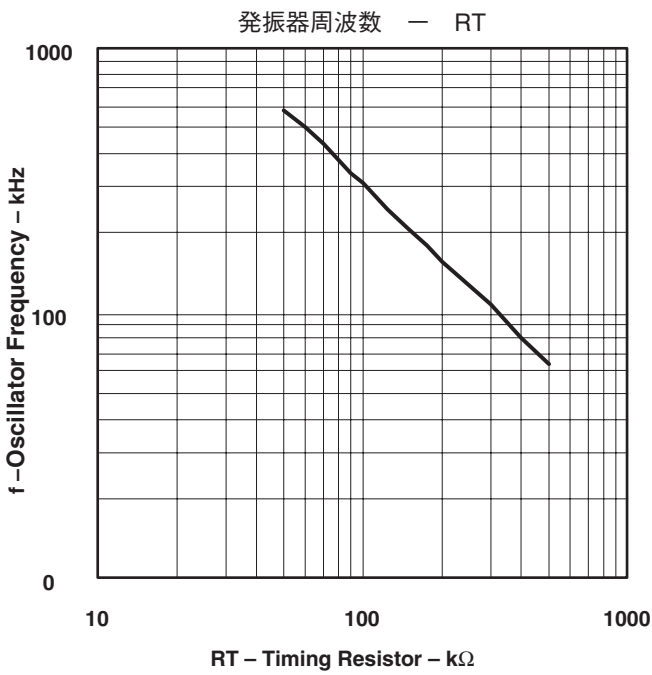


図 13

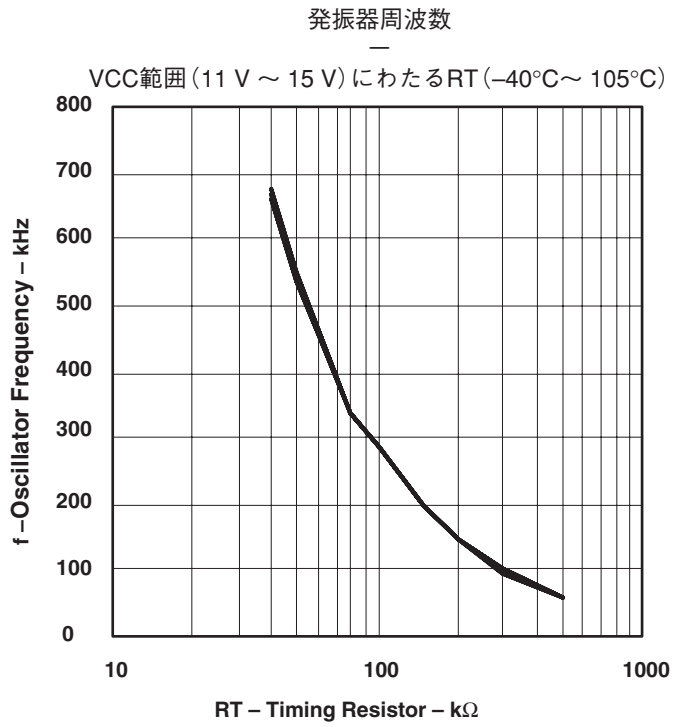


図 14

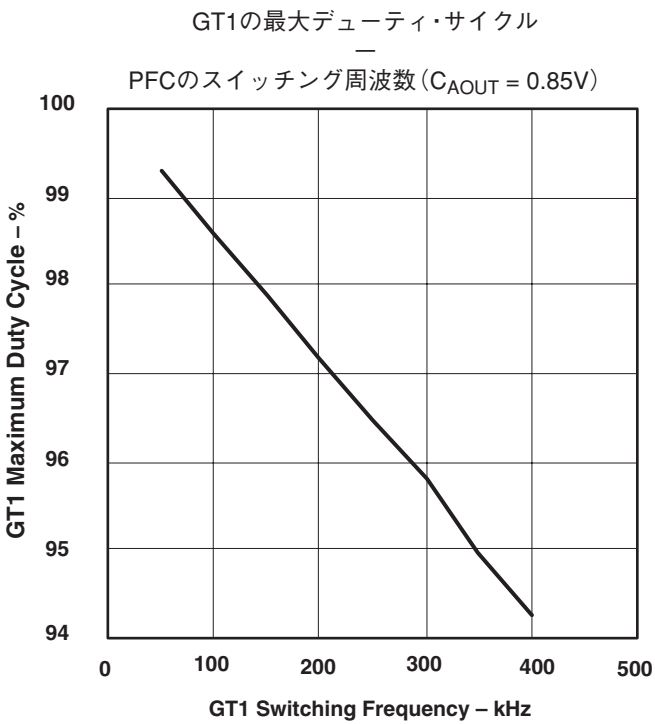


図 15

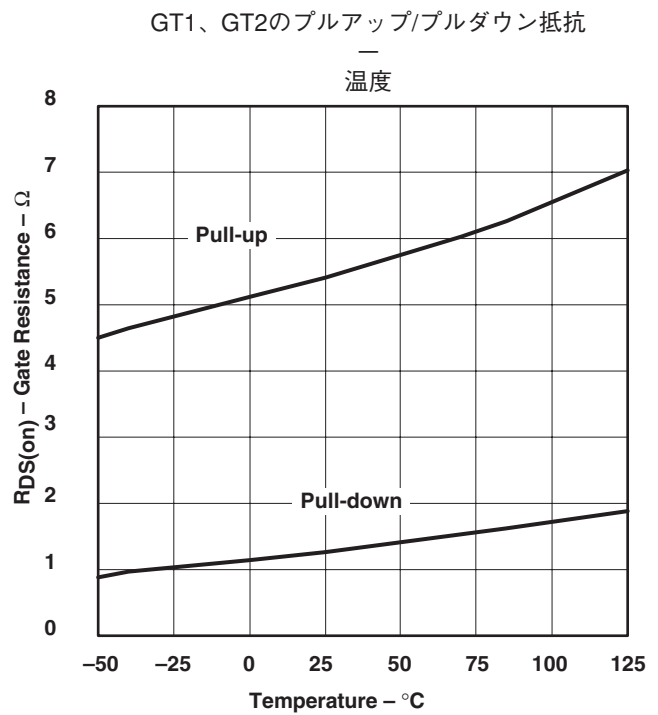


図 16

代表的特性

GT1の立上り/立下り時間

C_{LOAD} と R_{SERIES} ($V_{CC} = 12V$)

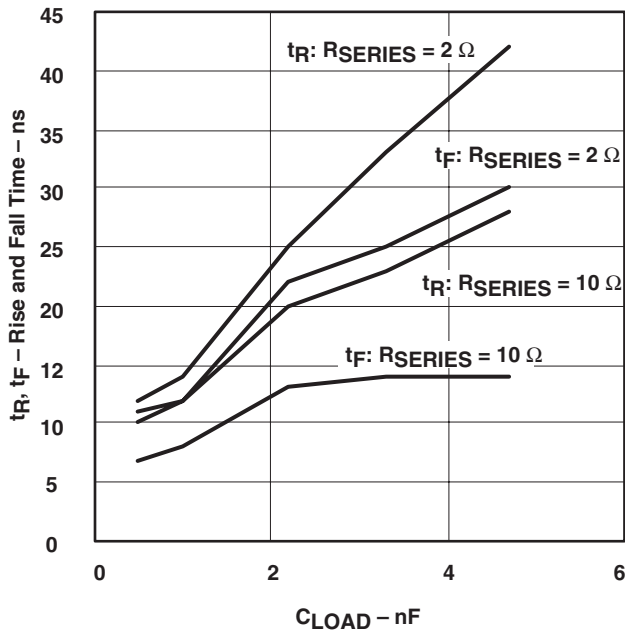


図 17

GT1、GT2の立上り/立下り時間 - 温度

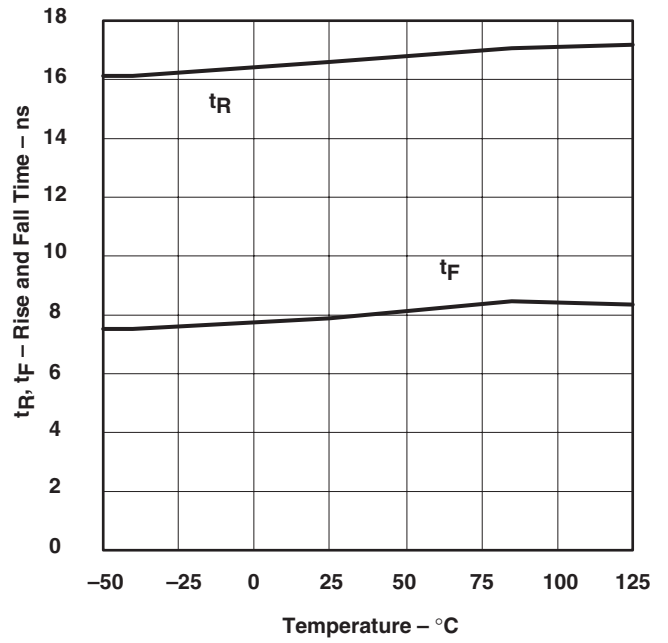


図 18

GT2の最大デューティ・サイクル

D_{MAX} の電圧

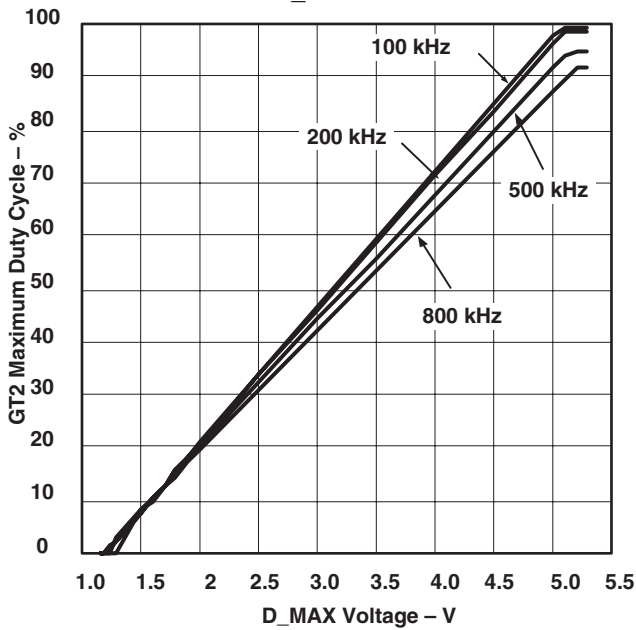


図 19

マルチプライヤの出力電流

電圧誤差増幅器の出力

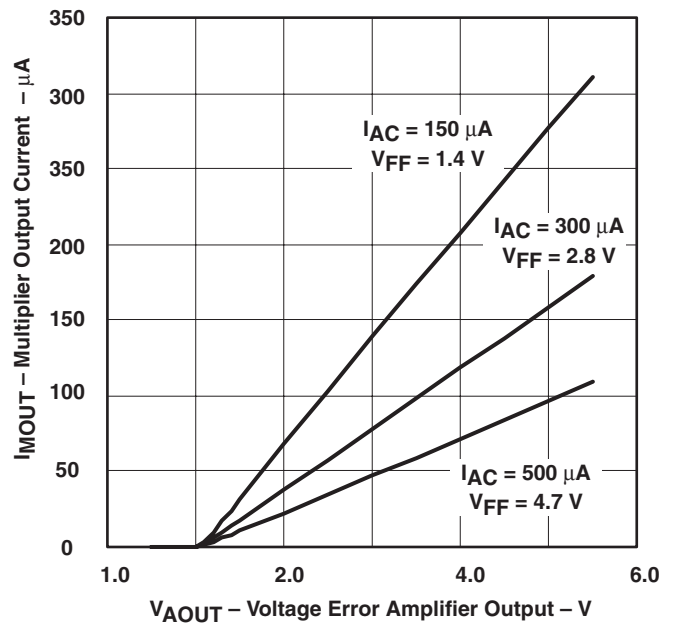


図 20

代表的特性

マルチプライヤのゲイン
—
電圧誤差増幅器の出力

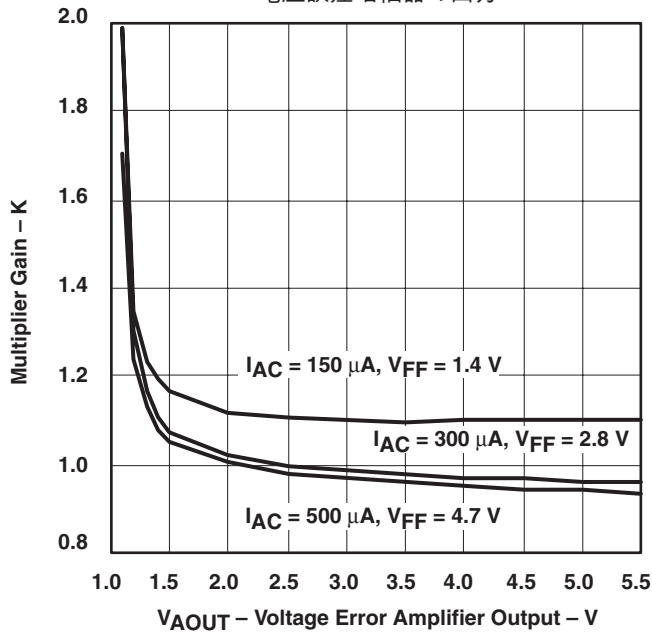


図 21

電力一定時のマルチプライヤのパフォーマンス

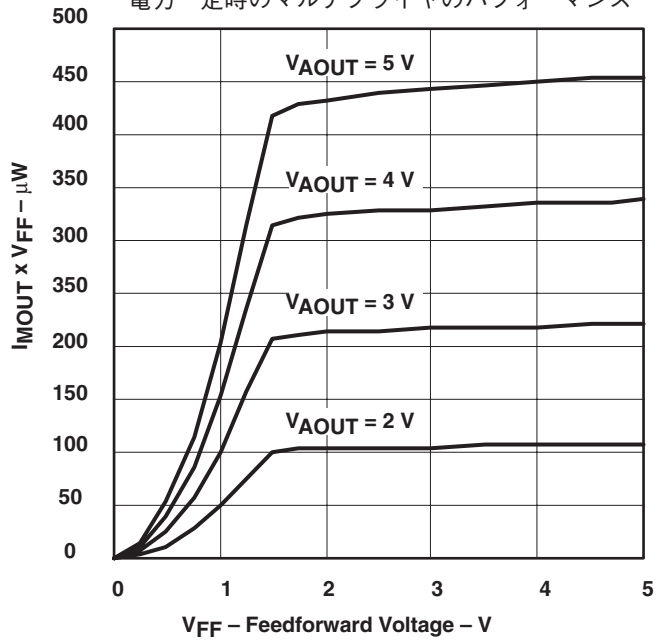


図 22

電流増幅器のオープン・ループ・ゲインと位相

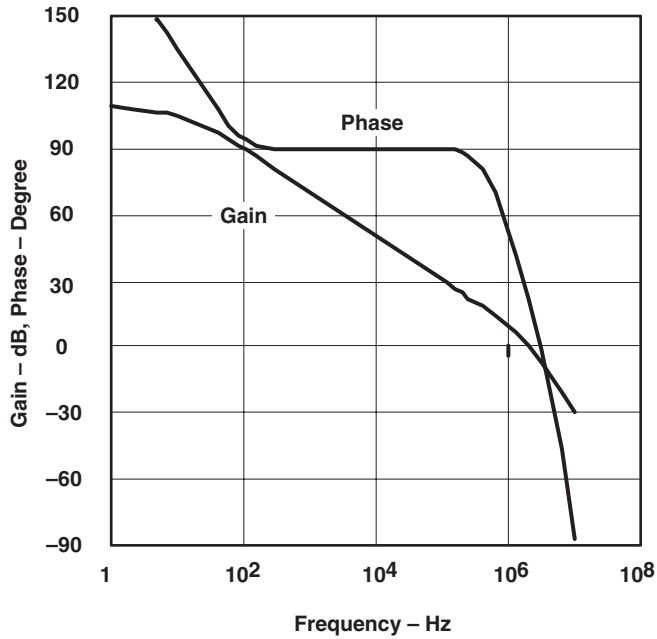


図 23

電圧増幅器のトランスコンダクタンス — 温度

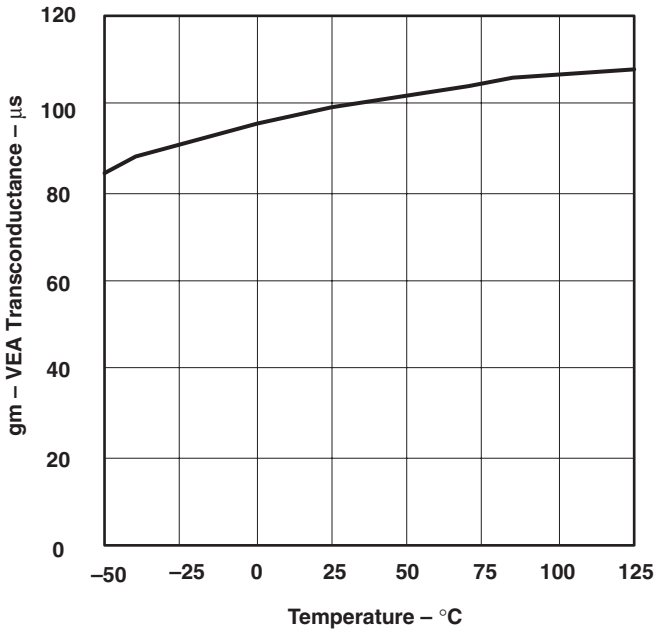


図 24

代表的特性

電圧増幅器の出力側での電流供給能力

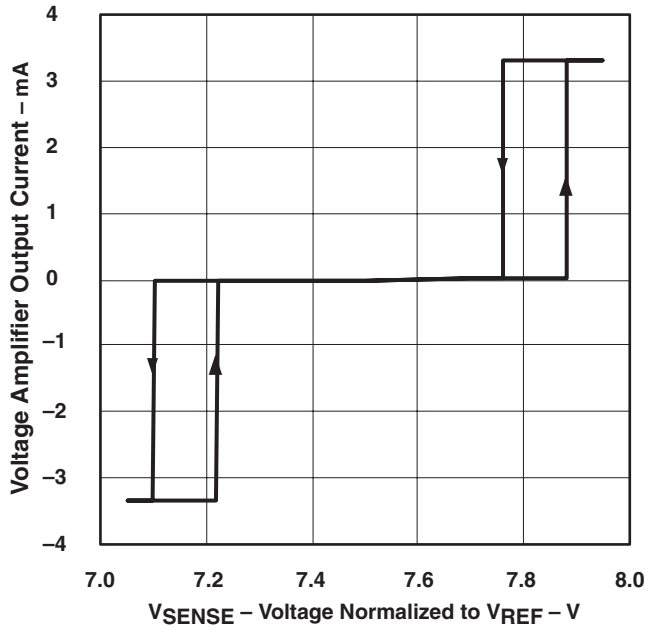


図 25

リニアな動作範囲での電圧増幅器の出力電流

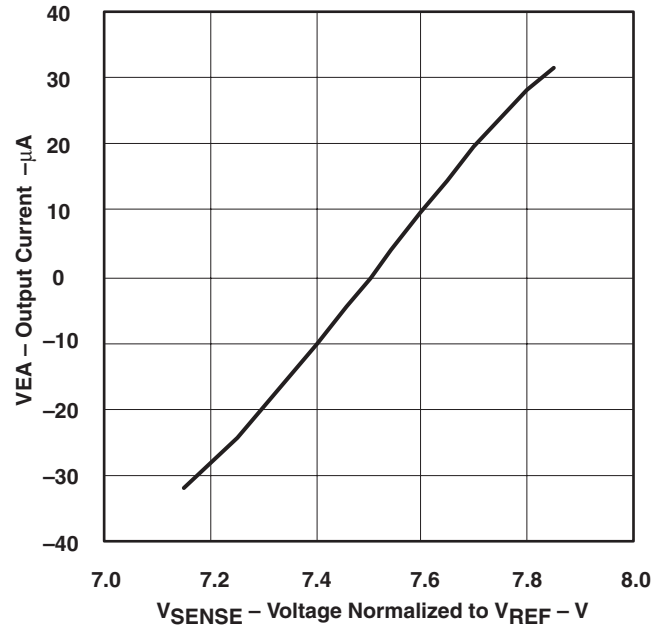


図 26

電圧増幅器のオープン・ループ・ゲインと位相

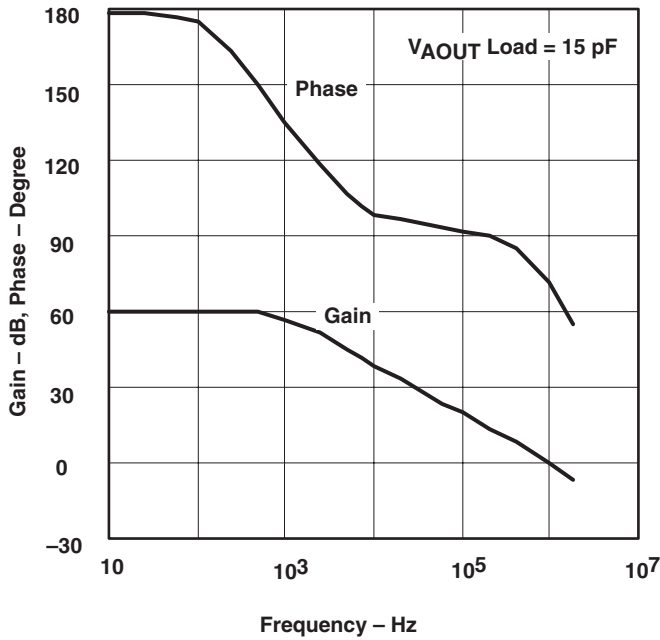


図 27

電圧増幅器のVSENSEバイアス電流

温度300

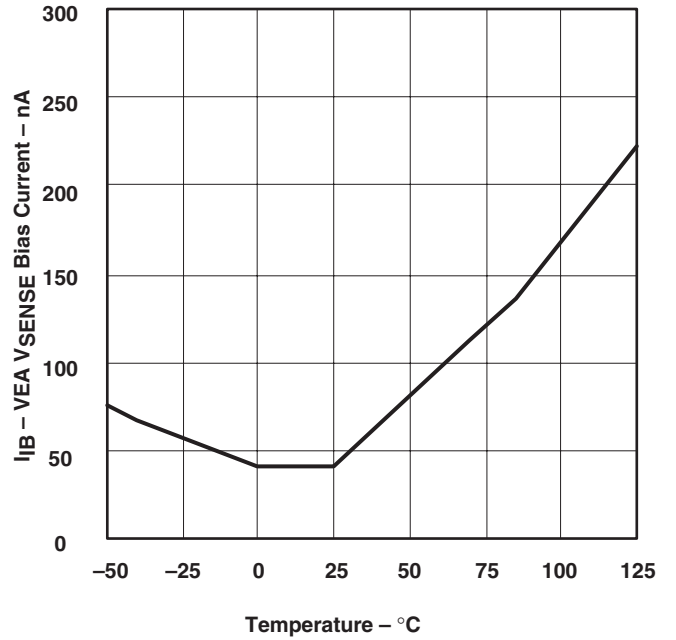


図 28

代表的特性

電圧増幅器のスルー電流 — 温度

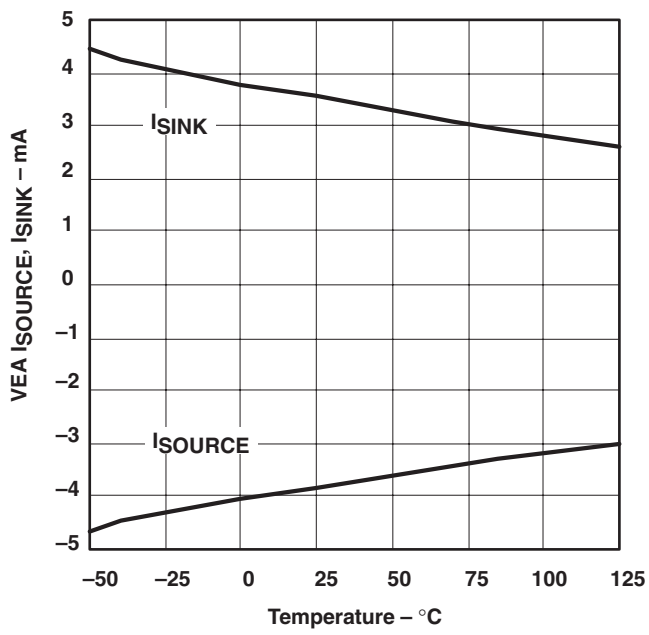


図 29

ソフトスタート電流 — 温度

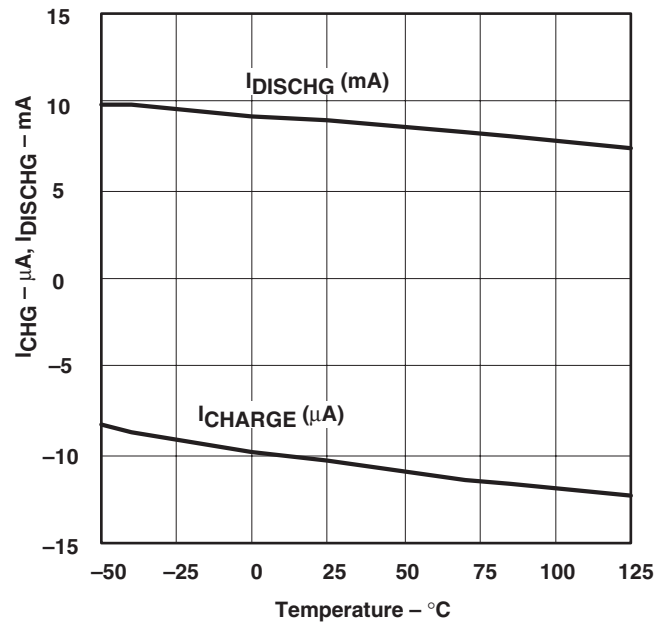


図 30

代表的な最小オン時間 — 容量

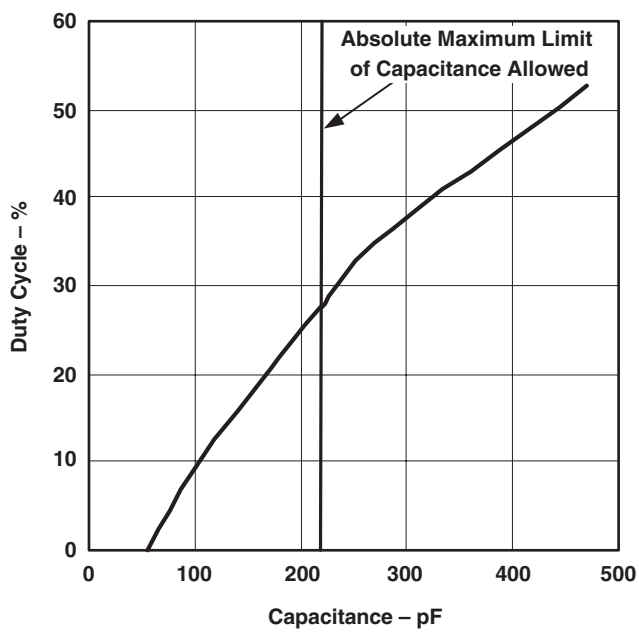


図 31

參考資料

1. Evaluation Module and associated User's Guide, UCC28521EVM, Texas Instruments Literature Number SLUU218
2. Datasheet, UCC38500/1/2/3 BiCMOS PFC/PWM Combination Controller, Texas Instruments Literature Number SLUS419C
3. Power Supply Seminar SEM 600, *High Power Factor Preregulator for Off-line Power Supplies*, L.H. Dixon, Texas Instruments Literature Number SLUP087
4. Power Supply Seminar SEM 700, *Optimizing the Design of a High Power Factor Switching Preregulator*, L.H. Dixon, Texas Instruments Literature Number SLUP093
5. Power Supply Seminar SEM 1500 Topic 2, *Designing High-Power Factor Off Line Power Supplies*, by James P. Noon
6. Application Note, *UC3854 Controlled Power Factor Correction Circuit Design*, Texas Instruments Literature Number SLUA144
7. Design Note, *Optimizing Performance in UC3854 Power Factor Correction*, Texas Instruments Literature Number SLUA172
8. Design Note, *UC3854A and UC3854B Advanced Power Factor Correction Control ICs*, Texas Instruments Literature Number SLUA177
9. Design Note, *UC3854A/B and UC3855A/B Provide Power Limiting with Sinusoidal Input Current for PFC Front Ends*, Texas Instruments Literature Number SLUA196
10. Laszlo Balogh, *A Design and Application Guide for High Speed Power MOSFET Gate Drive Circuits*, 2001 Power Supply Design Seminar Manual SEM1400, 2001
11. Bob Mammano and Bruce Carsten, *Understanding and Optimizing Electromagnetic Compatibility in Switchmode Power Supplies*, 2002 Power Supply Design Seminar Manual SEM1500, 2002

関連製品

PART NUMBER	DESCRIPTION	COMMENTS
UCC28510-17	Advanced BiCMOS PFC/PWM combination controllers	1:1 or 1:2 frequency option; leading edge, trailing edge modulation, programmable PWM Max dc
UCC38500/1/2/3	BiCMOS PFC/PWM combination controller	1:1 leading edge, trailing edge modulation, 50% PWM Max dc
UCC3817/18	BiCMOS power factor preregulator	High PF, UC3854 compatible, leading edge trailing edge modulation
UCC3819	Programmable output power factor preregulator	Tracking boost topology for dynamic output voltage adjustments
UC3854	High Power Factor Preregulator	High PF, industry standard PFC controller; 35 V _{CC} max
UC3854A/B	Enhanced high power factor preregulator	Improved high PF, industry standard PFC controller; 22 V _{CC} max
UC3855A/B	High performance power factor preregulator	ZVT output for lower EMI emission & higher efficiencies
UC3853	High power factor preregulator	8-Pin package; simplified architecture to minimized external components
UCC38050	Transition mode PFC controller	Constant on-time transition mode PFC controller
UC3852	High power factor preregulator	Constant off-time transition mode PFC controller; 30 V _{CC} max

改訂履歴

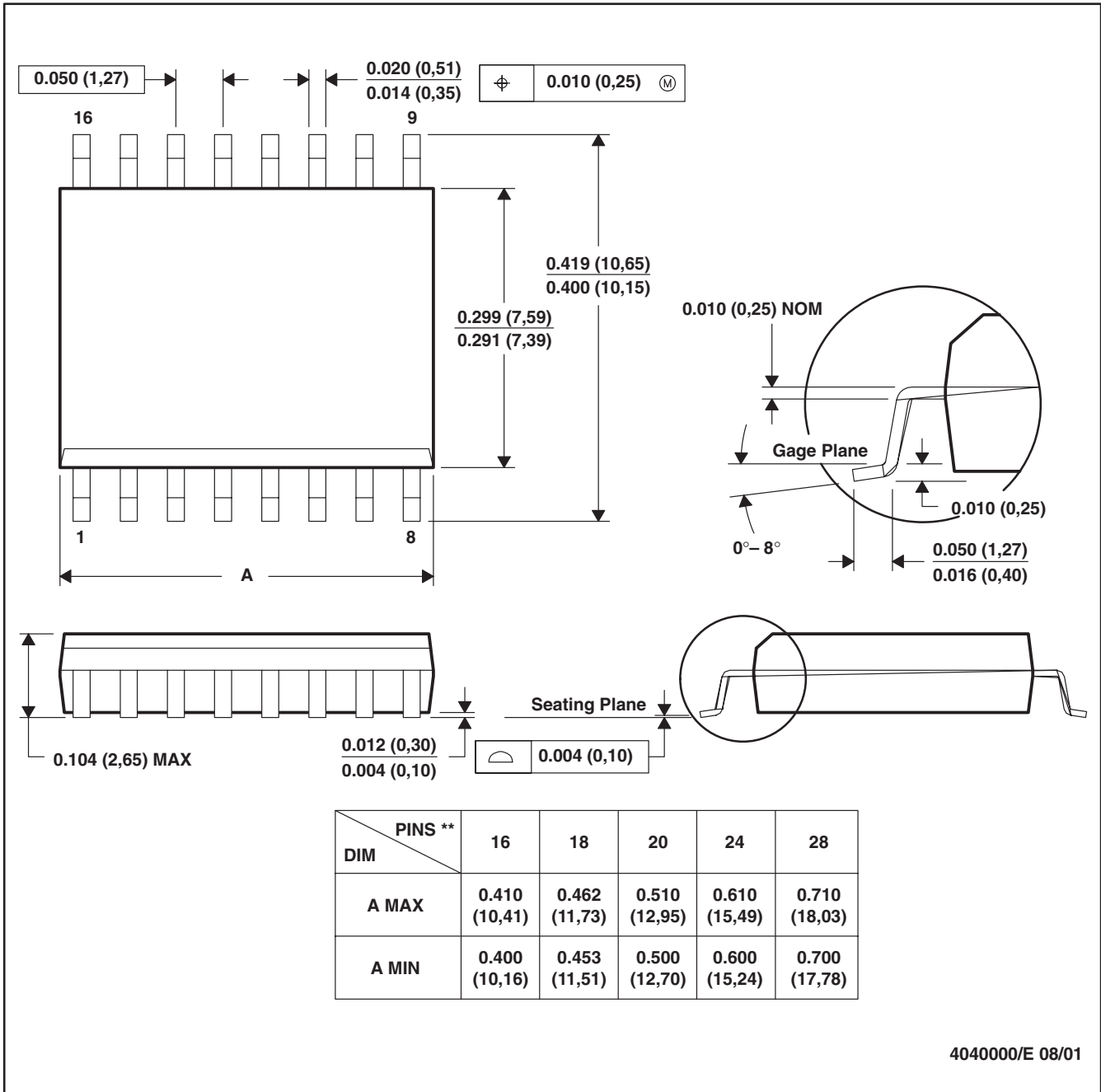
REVISION	DATE	CHANGE
SLUS608B	6/27/05	Corrected CAOUT pin description.

メカニカル・データ

DW (R-PDSO-G**)

PLASTIC SMALL-OUTLINE PACKAGE

16 PINS SHOWN



- 注： A. 全ての線寸法の単位はインチ(ミリメートル)です。
 B. この図は、予告なく変更されることがあります。
 C. ボディ寸法はモールド突起部を含みません。突起部は0.006 (0,15) を超えません。
 D. JEDEC MS-013に準拠します。

付録: パッケージ・オプション パッケージ情報

Orderable Device	Status ⁽¹⁾	Package Type	Package Drawing	Pins	Package Qty	Eco Plan ⁽²⁾	Lead/Ball Finish	MSL Peak Temp ⁽³⁾
UCC28521DW	ACTIVE	SOIC	DW	20	25	Green (RoHS & no Sb/Br)	CU NIPDAU	Level-1-260C-UNLIM
UCC28521DWR	ACTIVE	SOIC	DW	20	2000	Green (RoHS & no Sb/Br)	CU NIPDAU	Level-1-260C-UNLIM
UCC28521DWRG4	ACTIVE	SOIC	DW	20	2000	Green (RoHS & no Sb/Br)	CU NIPDAU	Level-1-260C-UNLIM
UCC28528DW	ACTIVE	SOIC	DW	20	25	Green (RoHS & no Sb/Br)	CU NIPDAU	Level-1-260C-UNLIM
UCC28528DWR	ACTIVE	SOIC	DW	20	2000	Green (RoHS & no Sb/Br)	CU NIPDAU	Level-1-260C-UNLIM
UCC28528DWRG4	ACTIVE	SOIC	DW	20	2000	Green (RoHS & no Sb/Br)	CU NIPDAU	Level-1-260C-UNLIM

(1) マーケティング・ステータスは次のように定義されています。

ACTIVE：製品デバイスが新規設計用に推奨されています。

LIFEBUY：TIによりデバイスの生産中止予定が発表され、ライフタイム購入期間が有効です。

NRND：新規設計用に推奨されていません。デバイスは既存の顧客をサポートするために生産されていますが、TIでは新規設計にこの部品を使用することを推奨していません。

PREVIEW：デバイスは発表済みですが、まだ生産が開始されていません。サンプルが提供される場合と、提供されない場合があります。

OBSOLETE：TIによりデバイスの生産が中止されました。

(2) エコ・プラン - 環境に配慮した製品分類プランであり、Pb-Free (RoHS) およびGreen (RoHS & no Sb/Br) があります。最新情報および製品内容の詳細については、<http://www.ti.com/productcontent>でご確認ください。

TBD：Pb-Free/Green変換プランが策定されていません。

Pb-Free (RoHS)：TIにおける“Lead-Free”または“Pb-Free”(鉛フリー)は、6つの物質すべてに対して現在のRoHS要件を満たしている半導体製品を意味します。これには、同種の材質内で鉛の重量が0.1%を超えないという要件も含まれます。高温で半田付けするように設計されている場合、TIの鉛フリー製品は指定された鉛フリー・プロセスでの使用に適しています。

Green (RoHS & no Sb/Br)：TIにおける“Green”は、“Pb-Free”(RoHS互換)に加えて、臭素 (Br) およびアンチモン (Sb) をベースとした難燃材を含まない(均質な材質中のBrまたはSb重量が0.1%を超えない)ことを意味しています。

(3) MSL、ピーク温度 -- JEDEC業界標準分類に従った耐湿性レベル、およびピーク半田温度です。

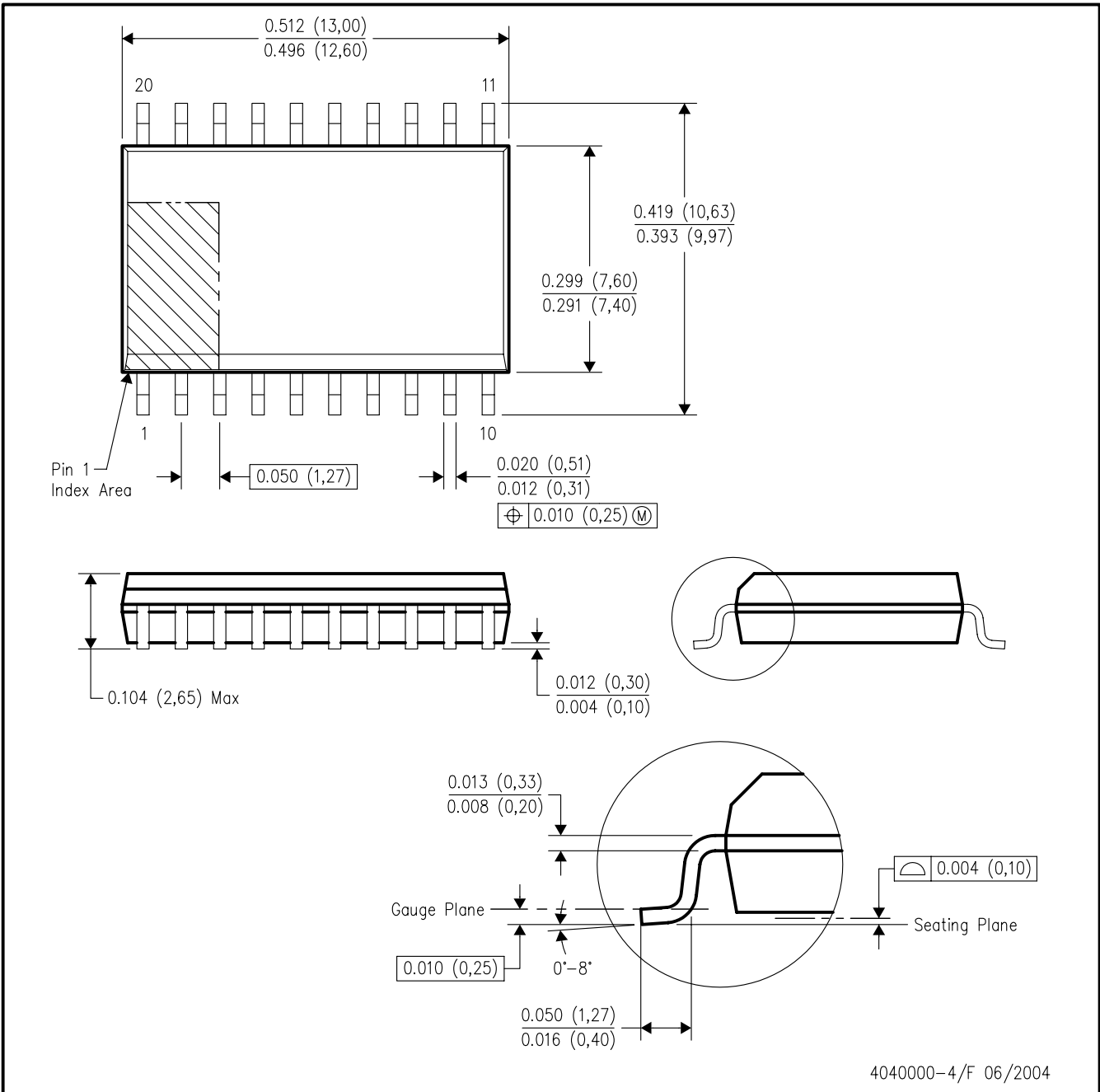
重要な情報および免責事項：このページに記載された情報は、記載された日付時点でのTIの知識および見解を表しています。TIの知識および見解は、第三者によって提供された情報に基づいており、そのような情報の正確性について何らの表明および保証も行いません。第三者からの情報をより良く統合するための努力は続けております。TIでは、事実を適切に表す正確な情報を提供すべく妥当な手順を踏み、引き続きそれを継続してゆきますが、受け入れる部材および化学物質に対して破壊試験や化学分析は実行していない場合があります。TIおよびTI製品の供給者は、特定の情報を機密情報として扱っているため、CAS番号やその他の制限された情報が公開されない場合があります。

いかなる場合においても、そのような情報から生じるTIの責任は、TIによって年次ベースで顧客に販売される、このドキュメント発行時点でのTI製品の合計購入価格を超えることはありません。

メカニカル・データ

DW (R-PDSO-G20)

PLASTIC SMALL-OUTLINE PACKAGE



- 注： A. 全ての線寸法の単位はインチ(ミリメートル)です。
 B. この図は、予告なく変更されることがあります。
 C. ボディ寸法はモールド突起部を含みません。突起部は 0.006 インチ (0.15 mm) を超えません。
 D. JEDEC MS-013改ACに準拠します。

(SLUS608D)

ご注意

日本テキサス・インスツルメンツ株式会社(以下TIJといひます)及びTexas Instruments Incorporated(TIJの親会社、以下TIJないしTexas Instruments Incorporatedを総称してTIといひます)は、その製品及びサービスを任意に修正し、改善、改良、その他の変更をし、もしくは製品の製造中止またはサービスの提供を中止する権利を留保します。従ひまして、お客様は、発注される前に、関連する最新の情報を取得して頂き、その情報が現在有効かつ完全なものであるかどうかご確認下さい。全ての製品は、お客様とTIJとの間に取引契約が締結されている場合は、当該契約条件に基づき、また当該取引契約が締結されていない場合は、ご注文の受諾の際に提示されるTIJの標準販売契約約款に従って販売されます。

TIは、そのハードウェア製品が、TIの標準保証条件に従ひ販売時の仕様に対応した性能を有していること、またはお客様とTIJとの間で合意された保証条件に従ひ合意された仕様に対応した性能を有していることを保証します。検査およびその他の品質管理技法は、TIが当該保証を支援するのに必要とみなす範囲で行なわれております。各デバイスの全てのパラメーターに関する固有の検査は、政府がそれ等の実行を義務づけている場合を除き、必ずしも行なわれておりません。

TIは、製品のアプリケーションに関する支援もしくはお客様の製品の設計について責任を負うことはありません。TI製部品を使用しているお客様の製品及びそのアプリケーションについての責任はお客様にあります。TI製部品を使用したお客様の製品及びアプリケーションについて想定される危険を最小のものとするため、適切な設計上および操作上の安全対策は、必ずお客様にてお取り下さい。

TIは、TIの製品もしくはサービスが使用されている組み合わせ、機械装置、もしくは方法に関連しているTIの特許権、著作権、回路配置利用権、その他のTIの知的財産権に基づいて何らかのライセンスを許諾するということは明示的にも黙示的にも保証も表明もしていません。TIが第三者の製品もしくはサービスについて情報を提供することは、TIが当該製品もしくはサービスを使用することについてライセンスを与えるとか、保証もしくは承認をすることを意味しません。そのような情報を使用するには第三者の特許その他の知的財産権に基づき当該第三者からライセンスを得なければならない場合もあり、またTIの特許その他の知的財産権に基づきTIからライセンスを得て頂かなければならない場合もあります。

TIのデータ・ブックもしくはデータ・シートの中にある情報を複製することは、その情報に一切の変更を加えること無く、かつその情報と結び付けられた全ての保証、条件、制限及び通知と共に複製がなされる限りにおいて許されるものとします。当該情報に変更を加えて複製することは不正で誤認を生じさせる行為です。TIは、そのような変更された情報や複製については何の義務も責任も負いません。

TIの製品もしくはサービスについてTIにより示された数値、特性、条件その他のパラメーターと異なる、あるいは、それを超えてなされた説明で当該TI製品もしくはサービスを再販売することは、当該TI製品もしくはサービスに対する全ての明示的保証、及び何らかの黙示的保証を無効にし、かつ不正で誤認を生じさせる行為です。TIは、そのような説明については何の義務も責任もありません。

TIは、TIの製品が、安全でないことが致命的となる用途ないしアプリケーション(例えば、生命維持装置のように、TI製品に不良があった場合に、その不良により相当な確率で死傷等の重篤な事故が発生するようなもの)に使用されることを認めておりません。但し、お客様とTIの双方の権限有る役員が書面でそのような使用について明確に合意した場合は除きます。たとえTIがアプリケーションに関連した情報やサポートを提供したとしても、お客様は、そのようなアプリケーションの安全面及び規制面から見た諸問題を解決するために必要とされる専門的知識及び技術を持ち、かつ、お客様の製品について、またTI製品をそのような安全でないことが致命的となる用途に使用することについて、お客様が全ての法的責任、規制を遵守する責任、及び安全に関する要求事項を満足させる責任を負っていることを認め、かつそのことに同意します。さらに、もし万一、TIの製品がそのような安全でないことが致命的となる用途に使用されたことによって損害が発生し、TIないしその代表者がその損害を賠償した場合は、お客様がTIないしその代表者にその全額の補償をするものとします。

TI製品は、軍事的用途もしくは宇宙航空アプリケーションないし軍事的環境、航空宇宙環境にて使用されるようには設計もされていませんし、使用されることを意図されていません。但し、当該TI製品が、軍需対応グレード品、若しくは「強化プラスチック」製品としてTIが特別に指定した製品である場合は除きます。TIが軍需対応グレード品として指定した製品のみが軍需品の仕様書に合致いたします。お客様は、TIが軍需対応グレード品として指定していない製品を、軍事的用途もしくは軍事的環境下で使用することは、もっぱらお客様の危険負担においてなされるということ、及び、お客様がもっぱら責任をもって、そのような使用に関して必要とされる全ての法的要求事項及び規制上の要求事項を満足させなければならないことを認め、かつ同意します。

TI製品は、自動車用アプリケーションないし自動車の環境において使用されるようには設計されていませんし、また使用されることを意図されていません。但し、TIがISO/TS 16949の要求事項を満たしていると特別に指定したTI製品は除きます。お客様は、お客様が当該TI指定品以外のTI製品を自動車用アプリケーションに使用しても、TIは当該要求事項を満たしていなかったことについて、いかなる責任も負わないことを認め、かつ同意します。

Copyright © 2009, Texas Instruments Incorporated
日本語版 日本テキサス・インスツルメンツ株式会社

弊社半導体製品の取り扱い・保管について

半導体製品は、取り扱い、保管・輸送環境、基板実装条件によっては、お客様での実装前後に破壊/劣化、または故障を起こすことがあります。

弊社半導体製品のお取り扱い、ご使用にあたっては下記の点を遵守して下さい。

1. 静電気

素手で半導体製品単体を触らないこと。どうしても触る必要がある場合は、リストストラップ等で人体からアースをとり、導電性手袋等をして取り扱うこと。

弊社出荷梱包単位(外装から取り出された内装及び個装)又は製品単品で取り扱いを行う場合は、接地された導電性のテーブル上で(導電性マットにアースをとったもの等)、アースをした作業者が行うこと。また、コンテナ等も、導電性のものを使うこと。

マウンタやはんだ付け設備等、半導体の実装に関わる全ての装置類は、静電気の帯電を防止する措置を施すこと。前記のリストストラップ・導電性手袋・テーブル表面及び実装装置類の接地等の静電気帯電防止措置は、常に管理されその機能が確認されていること。

2. 温・湿度環境

温度: 0~40、相対湿度: 40~85%で保管・輸送及び取り扱いを行うこと。(但し、結露しないこと。)

直射日光があたる状態で保管・輸送しないこと。

3. 防湿梱包

防湿梱包品は、開封後は個別推奨保管環境及び期間に従ひ基板実装すること。

4. 機械的衝撃

梱包品(外装、内装、個装)及び製品単品を落下させたり、衝撃を与えないこと。

5. 熱衝撃

はんだ付け時は、最低限260以上の高温状態に、10秒以上さらさないこと。(個別推奨条件がある時はそれに従うこと。)

6. 汚染

はんだ付け性を損なう、又はアルミ配線腐食の原因となるような汚染物質(硫黄、塩素等ハロゲン)のある環境で保管・輸送しないこと。はんだ付け後は十分にフラックスの洗浄を行うこと。(不純物含有率が一定以下に保証された無洗浄タイプのフラックスは除く。)

以上